

YILDIZ TEKNİK ÜNİVERSİTESİ ★ FEN BİLİMLERİ ENSTİTÜÜ

**Ipc Kullanan Bir Ses Tanıma
Sisteminin Bilgisayar Simülasyonu**

Mustafa Turfan

Yüksek Lisans Tezi

Bilgisayar Sımlasyonu
120.000,-

YILDIZ ÜNİVERSİTESİ
FEN BİLİMLERİ ENSTİTÜSÜ

**LPC KULLANAN BİR SES TANIMA
SİSTEMİNİN BİLGİSAYAR SİMÜLASYONU**

YÜKSEK LİSANS TEZİ

MÜH. MUSTAFA TURFAN

İSTANBUL 1989

YILDIZ TEKNİK ÜNİVERSİTESİ
KÜTÜPHANE DOKÜMANTASYON
DAİRE BAŞKANLIĞI

R 152

153

Kot :
Alındığı Yer : Fen.Bil.Ens.
.....
Tarih : 10.4.95
Fatura :
Fiyatı : 120.000,-
Ayniyat No : 16
Kayıt No : 50981
UDC :
Ek :

YILDIZ ÜNİVERSİTESİ

D.B. No 49957

YILDIZ ÜNİVERSİTESİ
FEN BİLİMLERİ ENSTİTÜSÜ

İÇİNDEKİLER

SAYFA NO

ÖZET

SUMMARY

GİRİŞ

1

1- SAYISAL FİLTRELER

3

1.1. Filtreler

3

1.2. Lineer ve Non-lineer Filtreler

4

1.3. Denklem

5

**LPC KULLANAN BİR SES TANIMA
SİSTEMİNİN BİLGİSAYAR SİMÜLASYONU**

2- WIENER FİLTRE TEORİSİ

8

2.1. Lineer Wiener Filtresi

8

2.2. Normal Denklemler

9

2.3. Minimum Ortaanlı Normal Hata

11

2.4. Ortogonalilik Fonsiyonları

12

YÜKSEK LİSANS TEZİ

3- LINEER TAHMİN

15

3.1. Lineer Tahmin

16

MÜH. MUSTAFA TURFAN

3.2. Geri İndirme Tahmin ve Normal Denklemleri

20

3.3. İstihbar-Değerlendirme Algoritması

25

4- KONUSMA EĞİTİMİ

29

5- YÖNETİMİ

34

İSTANBUL 1989



İÇİNDEKİLER

SAYFA NO

ÖZET

SUMMARY

GİRİŞ	1
1- SAYISAL FİLTRELER	3
1.1. Filtreler	3
1.2. Wiener ve Kalman Filtreleri	4
1.3. FIR ve IIR Filtreler	5
2- WIENER FİLTRE TEORİSİ	8
2.1. Lineer Wiener Filtresi	8
2.2. Normal Denklemleri	9
2.3. Minimum Ortalama Karasel Hata	11
2.4. Ortogonalilik Prensibi	12
3- LİNEER TAHMİN	15
3.1. Lineer Tahmin Normal Denklemleri	16
3.2. Geri Lineer Tahmin İçin Normal Denklem-	
leri	20
3.3. Levinson-Durbin Algoritması	25
4- KONUŞMA ÜRETİMİNİN MEKANİZMASI	29
5- LOGARİTMİK SES TANIMA	34

6- SİMÜLASYON ve SONUÇLARI	43
6.1. Tanıtım	43
6.2. Sonuçlar	46
6.2.1. Pencere Fonksiyonunun Seçimi	47
6.2.2. Filtre Derecesinin Seçimi	52
6.3. Genel Sonuç	53
EK-I	54
KAYNAKLAR	61
ÖZGEÇMİŞ	62

ÖZET

Bu tezde esasen işaret işleme teorisinin inceleme dallarından biri olan ses işaretlerinin işlenmesi konusuna sadece bir giriş yaptım. Çok değişik boyutları olan meseleyi ana hatlarıyla incelediğimiz için benzer çalışma yapmak isteyenlere bir başlangıç kaynağı olur ümidiñdeyim.

Birinci bölümde üçüncü bölümün sonuna kadar olan kısımda temel filtre tanımlarıyla birlikte LPC filtrelerinin detaylı bir incelenmesi verildi. Dördüncü bölümde insan konuşmasının elektriksel açıdan mekanizması incelendi. Beşinci bölümde logaritmik ses tanıma dediğimiz ve bu tezde de kullandığımız ses tanıma yöntemi anlatıldı. Altıncı bölümde ise bu ses tanıma metodunu kullanarak hazırlanan programın yapısı ile alınan sonuçlar detaylarıyla verildi. Programın kendisi ise kitabın sonuna EK-I olarak ilave edildi.

Gerek tez çalışmaları sırasında gerekse kitabın hazırlanması esnasında başta Doç.Dr. Metin YÜCEL olmak üzere okulda hocalarımın, işyerinde de mesai arkadaşlarının gerçekten samimi destek ve anlayışlarını gördüm. Bu vesile ile hepsine ayrı ayrı teşekkür ederim.

SUMMARY

In this these, an introduction has been made to speech processing. It is expected that this overview becomes a starting point for the people who will make a similar work in such a field.

From the beginning of Chapter-I to the end of Chapter-III basic filter definitions and a detailed description of LPC filters are given. In Chapter-IV, mechanism of human speech from an electrical point of view is given. In Chapter V, method of logarithmic speech recognition which has been used in this essay is described. In Chapter VI, structure of the Computer program based on this algorithm and the results are given in detail. The program itself is given in Appendix-I.

The auther wishes to thank to Dr. Metin Yücel for his guidence during the preparation of this thesis, to the staff of the Department of Electronic Engineering and to his collegues for their support and encouragement.

GİRİŞ

Sayısal bilgisayar teknolojisindeki hızlı yükselmeye paralel olarak ayrik işaret işleme teorisi de uygulamada bir çok alanda kendisine kullanım yeri buldu. Bugün üzerinde hala ilgiyle çalışılan işaret işleme konularından biri de ses işaretlerinin analiz ve sentezidir. Bu konudaki çalışmalar genelde iki gruba ayrılabilir. Bunlar ses sentezi de demek olan yapay ses üretimi ile, ses tanımadır. Biz bu çalışmada ses tanıma olayı ile ilgilendik.

Ses tanıma konusuda kendi içinde birçok dallara ayrılan bir konudur. Yani meselenin boyutları epeyce geniş tir. Sadece bir kişinin sesinden yalnızca birkaç kelime yada harfi tanıyan basit sistemlerden başlayıp çok daha karmaşık olan sistemlere giden bir akışı vardır. Bugün kişiden bağımsız olarak çalışan ve kütüphanesi de epeyce geniş olan ses tanıma ve anlama sistemleri uygulamada birçok alanda mevcuttur.

Bu çalışmada biz bu sistemlerin en basiti diyebileceğimiz kısmı üzerinde çalıştık. Yani kişiye bağımlı ve kütüphanesi oldukça fakir olanı... Kütüphanede yalnızca bir'den on'a kadar olan rakamların söylenişleri mevcuttur. Yapılan çalışma ise esasen bir simülasyon olup bu kapasiteye sahip bir kütüphanedeki kelimeleri tanıyan bir programdır. Ses işaretine ait dataların incelenmesinde ise LPC filtre analizi kullanılmıştır. Analiz sonucunda tanıma paternleri dediğimiz ve esasen LPC filtresi çıkışındaki

hataların karasel toplamı olan parametreler elde edilmiştir. Bu parametreler kütüphanedeki referans kelime başına bir tanıdır. Bu parametreler yardımıyla ise logaritmik bir uzaklık fonksiyonu tanımlanarak bir tanıma metodu geliştirilmiştir. Önümüzdeki bölümlerde genel filtre teorisinden başlayarak programın teşkiline kadar yapılan çalışma adım adım incelenmiştir.

sayısal filtreler en basit yapıya sahip olurlar. Ancak sayısal filtrenin bu basit hali hile prastikte çoğu problemi ortadan kaldırır. Filtrenin kullanım yeri ve uygulama türde yakaradığı konulara uygun olarak

1-SAYISAL FILTRELER

genelde en karmaşık filtre yapısı olan nonlineer-adaptif

1.1. Filtreler

dir. Bu bölümde bu türlerin temel özelliklerini inceleyeceğiz.

Filtreleme terimi genelde fiziki donanım (hardware) ya da yazılım (software) vasıtasyyla, gürültüye ve harici istenmeyen etkilere maruz kalmış bir işaretin içindeki gerçek bilgiyi çıkararak gürültüden arındırma işlemi için kullanılır. Mesela bir haberleşme sisteminde verici taraftan gönderilen bir haber işaretini, iletim ortamında çeşitli gürültü etkenlerine maruz kalıp bozulabilir. Bu gürültülü haber işaretinden, gerçek haber işaretini değilse bile, mümkün olduğu kadar benzerini elde etmek için çeşitlifiltreleme işlemlerine ihtiyaç duyulur. Filtreleme işleminin başarısı,filtrelemenin cinsine ve kullanılan yöntemlere bağlı olarak geniş bir aralıkta değişir. Elektrik mühendisliğinde filtreler en genelde analog ve sayısal filtreler olmak üzere ikiye ayrılır. Her iki çeşit filtrenin de kendine has uygulama alanı olmakla beraber son yıllarda sayısal bilgisayar teknolojisindeki hem donanım hem yazılım alanında olan süratli gelişmeler en karmaşık işaret işleme algoritmalarını dahi hızlı, kolay ve daha emniyetli bir tarzda uygulama imkanı verdiğinden bugün artık her türlü filter tasarımlı sayısal yöntemlerle yapılmaktadır. Çeşitli türde sayısal filtreler elektrik-elektronik teknolojisinin uygulandığı geniş alanın her kademesinde görülebilmektedir.

Filtreleri ayrıca çalışma prensiplerine göre lineer-nonlineer ve adaptif-adaptif olmayan filtreler gibi türlere ayırmak da mümkündür. Bunlardan şüphesiz lineer ve adaptif

olmayan filtreler en basit yapıya sahip olanıdır. Ancak sayısal filtrenin bu basit hali bile pratikte çoğu problemleri gidermeye kافي gelir. Filtrenin kullanım yeri ve ihtiyacına göre türünde yukarıdaki tanımlara uygun olarak değişir. Mesela robotik sistemler gibi karmaşık sistemlerde genelde en karmaşık filtre yapısı olan nonlinear-adaptif filtreler kullanılır. Bu alt grupların herbiri kendi alanında bir uzmanlık sahasını oluşturup zaman zaman oldukça yüklü matematik gerektirirler. Ancak biz bu çalışmada fazla detaylı bir incelemeye girişmeyeceğiz. Bu bizim konumuzun dışındadır. Ses tanıma işleminde kullandığımız filtre esas olarak bir "Lineer Prediktör Filtresi" olup, adından anlaşılacağı üzere lineer ve adaptif olmayan bir filtre yapısındadır. Dolayısıyla nispeten basit yapıya sahiptir. Bu filtrelerle ilgili temel bilgiler ise 2. ve 3. bölümlerde detaylarıyla verilecektir. Okuyucunun bu incelemelerde ayrık matematik ve temel elektronik bilgilere sahip olduğu kabul edilmiştir.

Lineer prediktör filtrelerini incelemeye geçmeden önce ilerdeki konularda kullanacağımız bazı terimleri burada kısaca izah edelim.

1.2. Wiener ve Kalman Filtreleri

Filtrelerin kullanım amacının, gürültülü bilgi işaretlerinin, gürültüden arındırılması olduğunu daha önce söylemiştim. Dolayısıyla bu arındırma işleminde bir optimizasyon söz konusudur. Yani bazı filtre parametreleri öyle seçilmelidir ki, filtre çıkışında elde edilen bilgideki hata payı minimum olsun. Bu optimizasyon işlemi bütün filtrelerde karşımıza çıkar ancak, bunun yolu tek değildir. Bu amaçla literatürde birçok optimizasyon yöntemi bulmak mümkündür. İşte bu yöntemlerden biri de "En Küçük Kareler"

yöntemidir. Optimizasyonu bu yöntemle yapılan lineer filterlere Wiener Filtresi denir. Klasik Wiener teorisinde optimizasyon yapılmakla beraber filtre parametrelerinin zamanla değişmediği, yani üzerinde işlem yapılan işaretin istatiksel olarak durağan olduğu kabul edilmiştir. Ancak pratikte daha ziyade bunun aksi durumlar söz konusudur. Mesela ses işaretinde böyle bir durum vardır. 4. bölümde açıklandığı gibi bir sesli harfe ait konuşma işaretini belli pitch peryodları arasında durağan sayılabilirmektedir. Ancak aynı harfin başka bir şahıs tarafından konuşulması durumunda ya da aynı şahıs tarafından fakat farklı bir zaman ve ortamda konuşulması halinde bu durağanlık kaybolur. Dolayısıyla bu ses işaretini işleyen filtreye ait katsayıarda, sürekli değişir. Eğer bu değişiklik nazara alınmazsa tasarlanan filtrenin başarısı istenen düzeye ulaşmaz. İşte durağan olmayan işaretlerin işlendiği ve katsayıları zamanla değişen filtrelerin optimizasyon işlemi 1960'lı yıllarda Kalman tarafından incelenmiş olup, bu çeşit filtrelere de Kalman filtreleri denmiştir. Bu çalışmada Kalman Filtreleri incelenmeyecektir.

1.3. (FIR) ve (IIR) Filtreler

Bir sayısal filtrenin giriş ve çıkışı arasındaki ilişkisi en genelde matematiksel olarak aşağıdaki gibi ifade edebiliriz:

$$y(n) = \sum_{k=0}^M a(k) \cdot u(n-k) + \sum_{k=1}^N b(k) y(n-k) \quad (1.1)$$

Burada $y(n)$ çıkış dizisi, $u(n)$ giriş dizisi, $a(k)$ ve $b(k)$ 'de bunlara ilişkin filtre katsayılarıdır. (1.1)'e "Fark Denklemi" de denir. Bu ifadeye bakıldığından çıkış dizisinin n anındaki değeri, çıkış dizisiyle giriş dizisinin daha önceki anlardaki değerlerinin lineer birleşimlerine eşittir.

Filtrelerin bu genel ifadesinden hareketle iki tür filtreyi tarif etmek mümkündür: FIR ve IIR filtreler.

a) FIR Filtre

$b(k)$ katsayılarının hepsinin sıfır olduğunu kabul edersek $y(n)$ ifadesi sadece giriş dizisine bağımlı kalır:

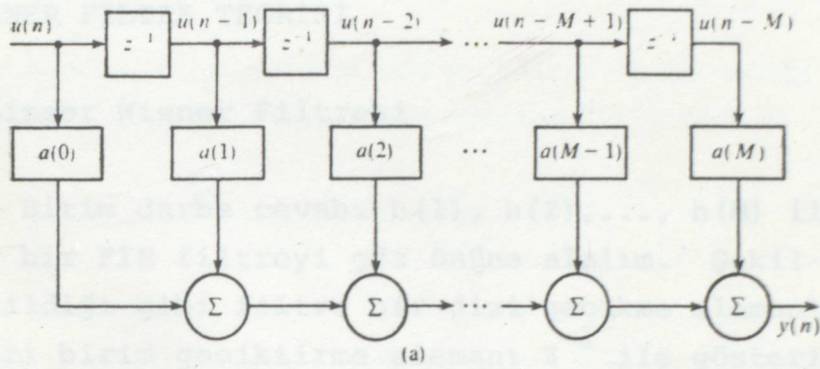
$$y(n) = \sum_{k=0}^M a(k) u(n-k) \quad (1.2)$$

Bu ifadeye tekabül eden filtrenin fiziksel yapısı Şekil 1.1.a'da gösterilmiştir. Burada z^{-1} , birim gecikme elemenini gösterir. Dikkat edilirse böyle birfiltreyi hardware olarak lojik devre elemanlarıyla gerçekleştirmek mümkündür. z^{-1} geciktirme elemanı, esasen bir ötelemeli yazıcıyla, (shift register) keza toplama ve çarpma blokları da lojik devre tasarımlıyla gerçekleştirilebilir. Böyle filtreler literatürde sonlu darbe cevabı滤resi (Finite Impulse Response) ya da kısaca FIR filtre denir. Bu filtreler yapılarının gereği olarak kararlıdırlar.

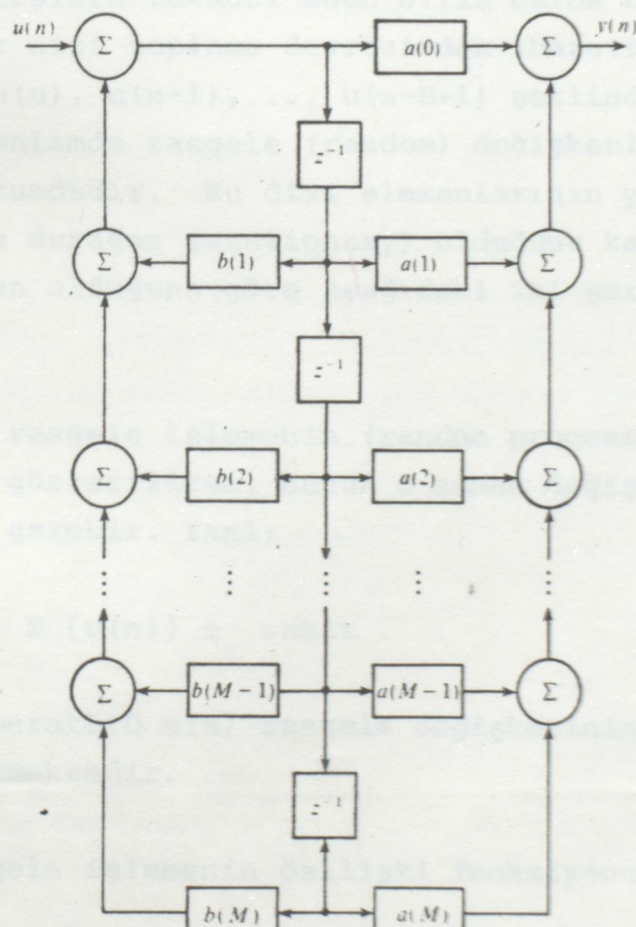
b) IIR Filtre

$b(k)$ katsayılarından bir veya bir kaçının sıfırdan farklı olması halinde $y(n)$ çıkış dizisinin belli bir n anındaki değerini, daha evvelki çıkış dizisi değerleri de etkiler. Yani, sistem geri beslemeli hale gelir. Bu yapıya sınırsız darbe cevabı (infinite impulse response) ya da kısaca IIR filtreleri denir. Böyle bir filtre yapısını fiziksel olarak çeşitli yollarla gerçekleştirmek mümkündür. Şekil 1.1 b'de $M=N$ için böyle bir filtrenin gerçeklenmesi gösterilmiştir. IIR filtreler $b(k)$ geribesleme katsayılarına bağlı olarak kararsız da olabilirler. Bu tabiki çoklukla istenmeyen bir durumdur. Dolayısıyla gerekli önlemleri

almak gereklidir. Bu çalışmada inceleyeceğimiz ve kullanacağımız lineer prediktör filtrelerinin hepsi de FIR filtre yapısındadır.



(a)



(b)

Şekil 1.1: (a) FIR filtre, (b) IIR filtre

2- WIENER FİLTRE TEORİSİ

2.1. Lineer Wiener Filtresi

Birim darbe cevabı $h(1), h(2), \dots, h(M)$ ile verilen lineer bir FIR filtreyi göz önüne alalım. Şekil 2.1'de gösterildiği gibi滤tre bir dizi gecikme elemanlarıyla (herbiri birim geciktirme elemanı z^{-1} ile gösterilmiş), gerekli girişlere tekabül eden birim darbe cevabı katsayıları ve bir dizi toplama devresinden ibarettir. Filtrenin girişleri $u(n), u(n-1), \dots, u(n-M+1)$ şeklinde M adet, istatistiksel anlamda rasgele (random) değişkenler dizisinden oluşmuş durumdadır. Bu dizi elemanlarının yine istatistiksel anlamda durağan (stationary) olduğunu kabul edeceğiz. Dizi durağan olduğuna göre aşağıdaki iki şartı sağlayacaktır.

1- Bu rasgele işlemenin (random process) ortalama değeri m ile gösterilirse, bunun n zaman değişkeninden bağımsız olması gereklidir. Yani:

$$m = E \{u(n)\} = \text{sabit} \quad (2.1)$$

Burada E operatörü $u(n)$ rasgele değişkeninin beklenen değerini göstermektedir.

2- Rasgele işlemenin özilişki fonksiyonu

$$r(n, m) = E \{u(n) u(m)\} \quad (2.2)$$

ile tarif edilir ve bu değer $n-m$ zaman farkına bağlıdır.

Yani:

$$r(n,m) = r(n-m) \quad (2.3)$$

Filtre çıkışını $y(n)$ ile gösterelim. Bunu aşağıdaki konvolusyonel toplam ifadesiyle gösterebiliriz:

$$y(n) = \sum_{k=1}^M h(k) u(n-k+1) \quad (2.4)$$

Burada maksadımız arzu edilen bir $d(n)$ filtre çıkışı ile, filtrenin reel çıkışı ya da cevabı olan $y(n)$ arasındaki farkı birtakım yollarla minimize etmektir. Bu farkı şöylece gösterebiliriz:

$$e(n) = d(n) - y(n) \quad (2.5)$$

Burada $e(n)$ 'e hata işaretisi (error signal) ya da kalan (residual) denir. Hata işaretinin sıfırdan farklı olması halinde filtre çıkışı $y(n)$ ile arzu edilen $d(n)$ cevabı aynı olmayacağındır. Bundan dolayı yapacağımız iş $e(n)$ hatasını mümkün olduğu kadar küçük tutmaktır. İşte Wiener Teorisinde filtre, bu $e(n)$ hata işaretinin ortalama karesel değeri minimum yapılarak optimize edilir.



2.2. Normal Denklemleri

Hata işaretinin ortalama karesel değerini

$$\epsilon = E \{e^2(n)\} \quad (2.6)$$

ile gösterilir. Bu ortalama karesel değer, reel ve pozitif bir skalar büyülü olup, $e(n)$ hata işaretinin 1 ohm'luk bir yük uçlarına uygulanmasıyla harcanan ortalama güç

esittir. (2.5) ifadesini (2.6)'da yerine koyduğumuzda

$$\epsilon = E \{d^2(n)\} - 2 E \{d(n) y(n)\} + E \{y^2(n)\} \quad (2.7)$$

elde edilir. Giriş işaretini $u(n)$ ile, arzu edilen $d(n)$ cevabının birleşik durağan (Jointly stationary) olduğunu kabul edersek, (2.7) ifadesinin sağ tarafı şöyle yorumlanabilir.

1- $E \{d^2(n)\}$ terimi, $d(n)$ 'in ortalama karesel değerine esittir ve şöylece gösterilebilir.

$$P_d = E \{d^2(n)\} \quad (2.8)$$

2- (2.7) ifadesinde $y(n)$ yerine (2.4) ile verilen değeri konulduğunda sırayla $E \{d(n) \cdot u(n-k+1)\}$ ve $E \{u(n-k+1) u(n-m+1)\}$ terimleri elde edilir. Bunlardan ilki olan, $E \{d(n) u(n-k+1)\}$ beklenen değeri, arzu edilen $d'(n)$ işaretiyile, giriş işaretini $u(n)$ 'in $n = k-1$ 'deki değeri olan $u(n-k+1)$ arasındaki geçiş ilişkisi (cross-correlation) fonksiyonudur. Bunu da

$$P(k-1) = E \{d(n) u(n-k+1)\}, k = 1, 2, \dots, M \quad (2.9)$$

şeklinde ifade etmek mümkündür.

3- Son olarak, diğer beklenen değer olan $E \{u(n-k+1) u(n-m+1)\}$ değeri ise $u(n)$ giriş işaretinin $m-k$ için özilişki fonksiyonu olup

$$r(m-k) = E \{u(n-k+1) u(n-m+1)\} \quad (2.10)$$

ile gösterilebilir. Böylece (2.8), (2.9) ve (2.10)'daki kısaltmalar (2.7)'de yerine konursa ortalama karesel hata

işareti için

$$\epsilon = P_d^{-2} + \sum_{k=1}^M h(k) p(k-1) + \sum_{m=1}^M \sum_{k=1}^M h(k) h(m) r(m-k) \quad (2.11)$$

ifadesi elde edilir. Ortalama karesel hatayı minimize etmek için, $h(k)$ 'ya göre sırasıyla $k = 1, 2, \dots, M$ için türevleri alınırsa

$$\frac{\partial \epsilon}{\partial h(k)} = -2 p(k-1) + 2 \sum_{m=1}^M h(m) r(m-k) \quad (2.12)$$

ifadesi bulunur. Bu ifade sıfıra eşitlendiği taktirde filtre katsayılarının $h_o(1), h_o(2), \dots, h_o(M)$ biçiminde gösterilen optimum değerleri bulunur. Öyleki, bu optimum değerler kullanıldığı takdirde filtrenin hata çıkışını minimum olacaktır. Bu işlem yapılrsa aşağıdaki denklem takımını elde ederiz.

$$\sum_{m=1}^M h_o(m) r(m-k) = p(k-1), \quad k = 1, 2, \dots, M \quad (2.13)$$

Son elde ettiğimiz bu denklem takımına normal denklemleri denir. Neden bu ismin verildiği, bölüm 2.5'te açıklanacaktır. Bu denklem sisteminde özilişki katsayıları olan $r(m-k)$ ile, geçiş-ilişki katsayıları olan $p(k-1)$ 'in değerleri bilinmektedir. Bilinmeyenler $h_o(1), \dots, h_o(M)$ 滤re katsayılarıdır.

2.3. Minimum Ortalama Karesel Hata

Ortalama karesel hatanın minimum değerini ϵ_{min} ile gösterelim. Minimum hata için, (2.11) ifadesinde $p(k-1)$ yerine (2.13)'de elde edilen değeri yazılırsa

$$\begin{aligned}
 \varepsilon_{\min} &= P_d - 2 \sum_{k=1}^M h_o(k) P(k-1) + \sum_{k=1}^M \sum_{m=1}^M h_o(k) h_o(m) r(m-k) \\
 &= P_d - 2 \sum_{k=1}^M h_o(k) \{2P(k-1) - \sum_{m=1}^M h_o(m) r(m-k)\} \\
 &= P_d - \sum_{k=1}^M h_o(k) P(k-1)
 \end{aligned} \tag{2.14}$$

ifadesi bulunur. İste bütün bu minimizasyon işlemleri yapıldığı takdirde ortalama karesel anlamda optimum filtre elde edilerek (2.14) ile verilen minimum hataya erişilir.

2.4. Ortogonalilik Prensibi

(2.15) ile verilen normal denklemleri, minimum ortalama karesel hata anlamında optimum滤re katsayılarını tarif eder. $P(k-1)$ ve $r(k-m)$ 'nin tanımlarını kullanarak bu ifadeyi tekrar yazabiliriz.

$$\sum_{m=1}^M h_o(m) E \{ u(n-m+1) u(n-k+1) \} = E \{ d(n) u(n-k+1) \}$$

$$k = 1, 2, \dots, M \tag{2.16}$$

Bu ifadeyi düzenlersek;

$$E \left[\{ d(n) - \sum_{m=1}^M h_o(m) u(n-m+1) \} u(n-k+1) \right] = 0$$

$$k = 1, 2, \dots, M \tag{2.17}$$

(2.17) ifadesinde eşitliğin sol tarafındaki toplam ifadesi filtrenin optimum çıkış değeri olan $y_o(n)$ 'i verecektir.

$$y_o(n) = \sum_{m=1}^M h_o(m) u(n-m+1) \quad (2.18)$$

istenen filtre cevabı $d(n)$ ile $y_o(n)$ arasındaki fark ise minimum ya da optimum hatayı vereceğinden (2.17) ifadesini tekrar şu şekilde yazabiliriz.

$$\begin{aligned} E \{ d(n) - y_o(n) \} u(n-k+1) &= E \{ e_o(n) u(n-k+1) \} \\ &= 0, \quad k=1, 2, \dots, M \end{aligned} \quad (2.19)$$

Burda $e_o(n)$ optimum filtre çıkışını sağlayan minimum hata işaretidir. (2.19) ifadesinden görüldüğü gibi optimum filtre için $e_o(n)$ hata işaretiyile filtre girişleri birbirine ortogonaldır. Buna ortogonalilik prensibi denir. Ortogonalilik prensibinin bir neticesi olarak $e_o(n)$ hata işaretiyile optimum filtre çıkışı $y_o(n)$ 'in de birbirlerine ortogonal olduklarını söyleyebiliriz.

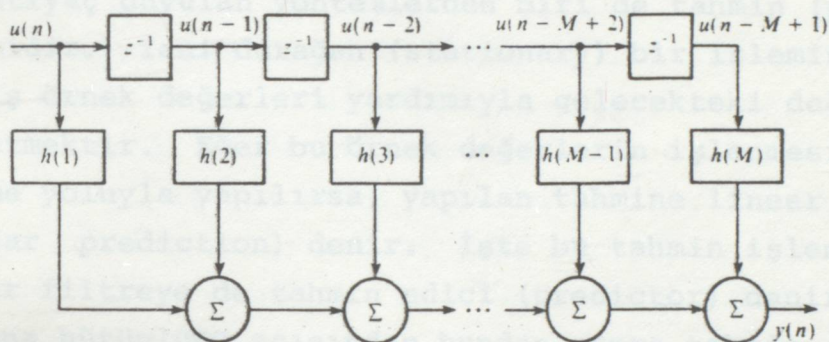
$$E \{ e_o(n) y_o(n) \} = 0 \quad (2.20)$$

Bunun nasıl olduğunu ise şöylece gösterebiliriz.

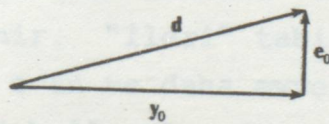
$$\begin{aligned} E \{ e_o(n) y_o(n) \} &= E \{ e_o(n) \sum_{k=1}^M h_o(k) u(n-k+1) \} \\ &= \sum_{k=1}^M h_o(k) \{ E \{ e_o(n) u(n-k+1) \} \} \\ &= 0 \end{aligned}$$

(2.20) denklemi ilginç bir geometrik yoruma sahiptir. Şayet filtre çıkışını, arzu edilen cevabı ve hata işaretini gösteren rasgele (random) değişkenleri birer vektör olarak gösterirsek arzu edilen filtre cevabı, filtre çıkışı ile hata işaretinin vektörel toplamına eşit olacaktır. Bu üç

büyüklük arasındaki ilişki Şekil 2.2'de geometrik olarak verilmiştir. Şekilden görüleceği gibi $e_o(n)$ hata vektörüyle $y_o(n)$ optimum çıkış vektörü birbirine dikdir. Zaten bu diklik ya da normalilik yüzünden "normal denklemleri" tabiri kullanılmıştır.



Şekil 2.1: Birim darbe cevabı katsayıları cinsinden FIR filtre



Şekil 2.2:

Ortogonalilik prensibinin
geometrik gösterimi

3- LINEER TAHMİN (LINEAR PREDICTION)

İşaret işlemede (signal processing) çok kullanılan ve ihtiyaç duyulan yöntemlerden biri de tahmin (pediction) işlemidir. Yani durağan (stationary) bir işlemin, bir grup geçmiş örnek değerleri yardımıyla gelecekteki değerini tahmin etmektir. Eğer bu örnek değerlerin işlenmesi lineer filtreleme yoluyla yapılrsa, yapılan tahmine lineer tahmin (linear prediction) denir. İşte bu tahmin işlemini yapan lineer filtreye de tahmin edici (predictor) denir. Kullanım ve mana bütünlüğü açısından bundan sonra tahmin edici yerine orjinal ismi olan "predictör" ismini kullanacağız. Rasgele işlemenin (random process) belli bir andaki örneğine ait arzu edilen değerle prediktörün real çıkışının arasındaki farka tahmin hatası (prediction error) denir. Wiener filtre teorisine göre predictor, bu tahmin hatasının karesel ortalamasının minimize edilmesiyle optimize edilip dizayn edilir. Geçen bölümde filtreleri anlatırken Wiener filtresine de değinilmişti.

Yukarda anlatılan tahmine "ileri tahmin" (forward prediction) da denir. "İleri" tabiri, filtrenin belli bir andaki çıkışının, o an ve daha evvelki girişlerden tahmin edilmesinden ötürü kullanılmıştır. Yani filtre geçmişe bakarak ileri doğru gitmektedir. Bundan başka geri tahmin (backward prediction) diyeBILECEĞİMİZ bir tahmin daha mümkündür ki, bu durumda filtre belli bir anda ileriye bakarak gerideki bir değeri tahmin eder.

Wiener filtre teorisinin lineer tahmin (linear prediction) problemine uygulanmasıyla karşımıza Şekil 2.1'de kine benzer bir filtre yapısı çıkar. Ancak bu yapı ileri

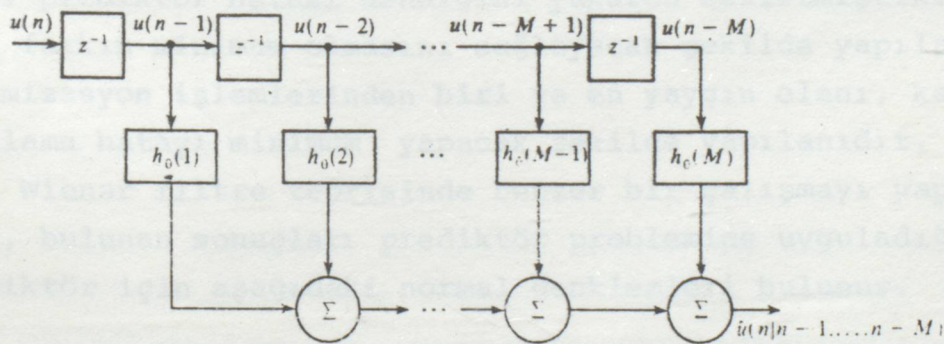
ve geri tahminler için ayrı ayrı mümkündür. İleri ve geri tahmin filtre yapıları birleştirildiğinde latis tahmin (lattice predictor) yapısı karşımıza çıkar. Latis tahmin filtresi işaret işleme açısından ilginç ve kullanışlı bir yapıya sahiptir.

3.1. İleri Lineer Tahmin Normal Denklemleri

Durağan bir işaretten elde edilen $u(n-1), u(n-2), \dots, u(n-M)$ zaman dizisini ele alalım. İleri lineer tahmin (forward linear prediction) probleminde bu örnek değerler $u(n)$ değerini tahmin etmek için kullanılır. $u(n)$ 'in bu notasyonu hernekadar biraz sıkıcı gibi görünüyorrsa da olayın anlaşılması için uygundur. Buna göre ileri tahmin hmasını şöylece yazabiliriz:

$$f_M(n) = u(n) - \hat{u}(n|n-1, \dots, n-M) \quad (3.1)$$

Burada $u(n)$ arzu edilen cevaptır. $f_M(n)$ 'deki M indisi tahmin işleminin M adet geçmiş örnek yardımıyla yapıldığını gösterir. Böyle bir prediktörün yapısı, şematik olarak Şekil 3.1'de gösterilmiştir. Şimdi buradaki problem (3.1)



Sekil 3.1: İleri lineer tahmin filtresi

bağıntısıyla verilen prediktör hatasının karesel ortalamasını minimum yapacak şekilde bu filtrenin optimize edilmesidir.

Bu optimizasyon işlemindeki anahtar parametrelerin filtre katsayıları olduğunu 2. bölümde görmüştük. Bölüm 2'de Wiener filtre teorisini anlatırken elde ettiğimiz sonuçları, gerekli değişiklikleri yaparak lineer prediktör problemine uygulayabiliriz. Şekil 3.1'deki prediktör filtresine göre aşağıdaki bağıntıyı yazabiliriz.

$$\hat{u}(n/n-1, \dots, n-M) = \sum_{k=1}^M h_o(k) u(n-k) \quad (3.2)$$

Burada $u(n-1), u(n-2), \dots, u(n-M)$ gerçek değerini bulmak istedigimiz $u(n)$ dizisinin geçmiş elemanlarıdır. Şekil 3.1'e tekrar dikkatlice baktığımızda buradaki ana temanın şu olduğu görülür. Prediktör girişine bir $u(n)$ dizi girmektedir. Prediktör adından anlaşılacağı üzere dizinin n .örneğinin değerini daha evvel ölçümiş olduğu geçmiş örnek değerlerden tahmini olarak hesaplar ve olay her adım için böyle tekrar eder. Tahmin edilen herbir andaki örnek, bir sonraki an için bilinen bir örnek kabul edilerek tahmin işlemine devam edilir. Filtre katsayıları öyle seçilmelidir ki, tahmin edilen değer ile gerçek değer arasındaki fark minimum olsun. Bu fark (3.1) ifadesi ile verilmiş olup buna ileri prediktör hatası dendiğini yukarıda belirtmiştik. Aradaki farkın minimum olmasını sağlayacak şekilde yapılan optimizasyon işlemlerinden biri ve en yaygın olanı, karesel ortalama hatayı minimum yapacak şekilde yapılanıdır. Bölüm 2'de Wienar filtre teorisinde benzer bir çalışmayı yaptığımız için, bulunan sonuçları prediktör problemine uyguladığımızda, prediktör için aşağıdaki normal denklemleri bulunur.

$$\sum_{m=1}^M h_o(m) r(m-k) = r(k), \quad k=1, 2, \dots, M \quad (3.3)$$

Burada $r(m-k)$ girişin geçmiş değerleri arasındaki ilişki

fonksiyonu olup şu bağıntı ile verilir:

$$r(m-k) = E \{u(n-k) u(n-m)\}, \quad k=1,2,\dots, M \quad (3.4)$$

$r(k)$ ise arzu edilen $u(n)$ ile $u(n)$ 'in geçmişteki değerleri arasındaki ilişki fonksiyonu olup, genelde özilişki fonksiyonu denir.

$$r(k) = E \{u(n) u(n-k)\}, \quad k=1,2,\dots, M$$

(3.3) bağıntısından görüldüğü gibi optimum prediktöre ulaşmak için özilişki fonksiyonu katsayılarını bilmek kâfidir.

Yine daha önce yaptığımız incelemeye benzer olarak ileri prediktör hatası için karesel ortalama değeri şöyle ifade edebiliriz:

$$\begin{aligned} P_{f,M} &= E \{f_M^2(n)\} \\ &= r(0) - \sum_{m=1}^M h_0(m) r(m) \end{aligned} \quad (3.5)$$

Burada $r(0)$, arzu edilen cevap olan $u(n)$ 'in karesel ortalama değeri olup,

$$r(0) = E \{u^2(n)\}$$

bağıntısıyla verilir. (3.3)'deki normal denklemleri ile (3.5)'deki ortalama hata ifadesini, $h_0(1), \dots, h_0(M)$ filtre katsayılarından yeni bir grup prediktör katsayıları tanımlayarak birleştirmek mümkündür. Prediktör katsayılarının tanımı aşağıdaki gibidir.

$$a_M(n) = \begin{cases} 1 & , m=0 \\ -h_o(m) & , m=1, \dots, M \\ 0 & , m>M \end{cases} \quad (3.6)$$

Tanımladığımız bu prediktör katsayıları yardımıyla şimdi birleştirme işlemini yapabiliriz. Bunun için (3.3) ifadesinde $r(k)$ 'yı eşitliğin sol tarafındaki toplama işlemeye, (3.5) ifadesindeki $r(o)$ teriminide yine toplama işlemeye dahil etmek kafidir. Yani (3.3) ve (3.5) ifadeleri yerine sırasıyla

$$\sum_{m=0}^M a_M(m) r(m-k) = 0, \quad k=1, 2, \dots, M \quad (3.7)$$

$$\sum_{m=0}^M a_M(m) r(m) = p_{f,M} \quad (3.8)$$

bağıntılarını yazmak mümkündür. Bu iki ifade şimdiden dikkat edilirse $a_M(n)$ katsayıları yardımıyla

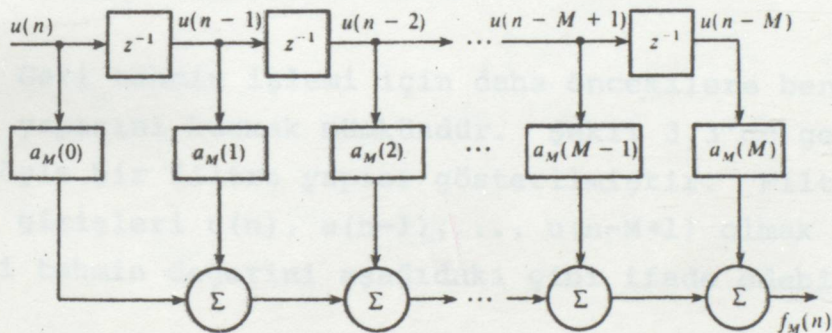
$$\sum_{m=0}^M a_M(m) r(m-k) = \begin{cases} p_{f,M} & , k=0 \\ 0 & , k=1, 2, \dots, M \end{cases} \quad (3.9)$$

şeklinde birleştirilebilir. Elde ettiğimiz bu son ifadeye ileri prediktör filtresi için "Genelleştirilmiş Normal Denklemeleri" denir.

İleri prediktör hatası için de prediktör katsayıları cinsinden yeni bir ifade bulmak mümkündür. Bunu aşağıdaki gibi yazabiliriz:

$$\begin{aligned}
 f_M(n) &= u(n) - \hat{u}(n/n-1, \dots, n-M) \\
 &= u(n) - \sum_{k=1}^M h_o(k) u(n-k) \\
 &= \sum_{k=0}^M a_M(k) u(n-k)
 \end{aligned} \tag{3.10}$$

(3.10) ifadesi "Prediktör Hata Filtresi" diyebileceğimiz yeni bir filtreyi tarif eder. Bu yapı şematik olarak Şekil 3.2'de gösterilmiştir. Görüldüğü gibi bu hata滤resi daha önce tarif edilen prediktör滤resinden bir adım daha uzundur. Prediktör滤resi M adımlı, prediktör hata filteresi ise $M+1$ adımlıdır.



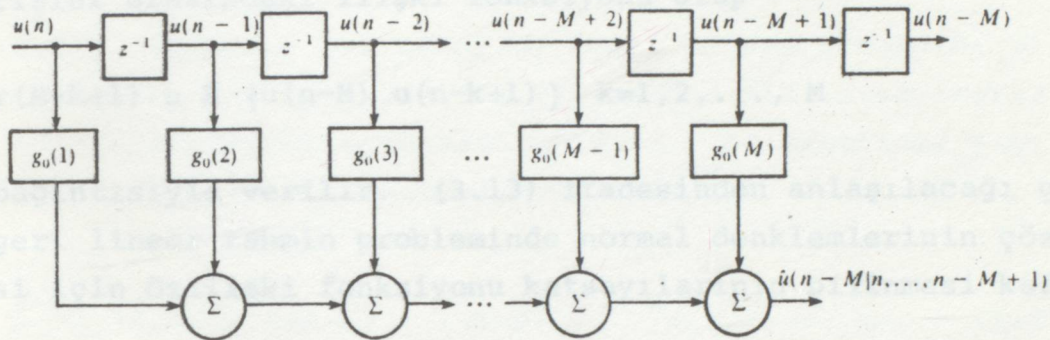
Şekil 3.2 : İleri tahmin-hata滤resi.

3.2. Geri Lineer Tahmin İçin Normal Denklemleri

Şimdi de geri lineer tahmin (backward linear prediction) problemini ele alalım. Bu durumda $u(n), u(n-1), \dots, u(n-m+1)$ dizisi, $u(n-M)$ değerini tahmin etmek için kullanılır. Bu tahminin neticesini $u(n-M/n, \dots, n-m+1)$ ile gösterelim. $u(n-M)$ 'de dizinin $n-M$ anındaki gerçek değerini göstermek üzere geri lineer tahmin hatasını

$$b_M(n) = u(n-M) - \hat{u}(n-M/n, \dots, n-m+1) \tag{3.11}$$

şeklinde ifade edebiliriz. Burada $u(n-M)$ arzu edilen cevap rolündedir. $b_M(n)$ terimindeki M indisi, tahmin işleminde M adet örneğin kullanıldığını belirtir.



Sekil 3.3 : Geri Lineer tahmin filtresi.

Geri tahmin işlemi için daha öncekilere benzer bir filtre yapısını kurmak mümkündür. Şekil 3.3'de geri tahmin için böyle bir filtre yapısı gösterilmiştir. Filtrenin ana ve yan girişleri $u(n)$, $u(n-1)$, ..., $u(n-M+1)$ olmak üzere çıkışındaki tahmin değerini aşağıdaki gibi ifade edebiliriz.

$$\hat{u}(n-M|n, \dots, n-M+1) = \sum_{k=1}^M g_o(k) u(n-k+1) \quad (3.12)$$

Burada $g_o(1)$, $g_o(2)$, ..., $g_o(M)$ karesel ortalama anlamında optimize edilmiş prediktör katsayılarıdır. Optimizasyon işlemi tahmin edileceği gibi yine, normal denklemlerden hareketle yapılır. Daha evvel elde edilen sonuçları kullanarak geri lineer tahmin için normal denklemlerini

$$\sum_{m=0}^M g_o(m) r(m-k) = r(M-k+1), \quad k=1, 2, \dots, M \quad (3.13)$$

olarak yazabiliriz. Burada $r(m-k)$ girişler arasındaki ilişkiyi gösteren ilişki fonksiyonu olup

$$r(m-k) = E \{ u(n-k+1) u(n-m+1) \}, \quad k=1, 2, \dots, M \quad (3.14)$$

bağıntısıyla verilir. $r(M-k+1)$ ise artış edilen cevapla girişler arasındaki ilişki fonksiyonu olup

$$r(M-k+1) = E \{ u(n-M) u(n-k+1) \} \quad k=1, 2, \dots, M$$

bağıntısıyla verilir. (3.13) ifadesinden anlaşılacağı gibi geri lineer tahmin probleminde normal denklemlerinin çözümlesi için özilişki fonksiyonu katsayılarının bilinmesi kafidir.

Geri lineer tahmin problemi için karesel ortalama hata aşağıdaki bağıntıyla verilir:

$$\begin{aligned} P_{b,M} &= E \{ b_M^2(n) \} \\ &= r(0) - \sum_{m=1}^M g_0(m) r(M-m+1) \end{aligned} \quad (3.15)$$

Burada $r(0)$ arzu edilen cevabın karesel ortalama değeridir ve $r(M-k+1)$ ise arzu edilen cevapla girişler arasındaki ilişkidir. (3.13) ifadesinde m yerine $M-m+1$ ve k yerine $M-k+1$ dönüşümleri yaptığımızda karşımıza ilginç bir sonuç çıkar.

$$m = M-m+1$$

$$k = M-k+1$$

$$\sum_{m=1}^M g_0(M-m+1) \cdot r(m-k) = r(k), \quad k=1, 2, \dots, M \quad (3.16)$$

En son elde ettiğimiz bu (3.16) ifadesiyle daha önce ileri lineer tahmin için elde ettiğimiz normal denklemlerini birebir karşılaştırıldığımızda şunlar elde edilir:

$$h_o(m) = g_o(M-m+1), \quad m=1, 2, \dots, M \quad (3.17)$$

$$g_o(m) = h_o(M-m+1), \quad m=1, 2, \dots, M \quad (3.18)$$

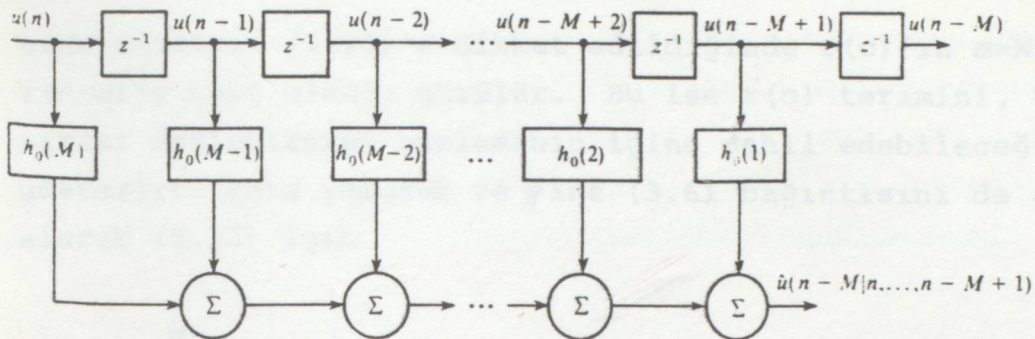
(3.18) ifadesine baktığımızda, geri lineer prediktör filtresini ileri lineer prediktör filtresine ait katsayılarla yeniden düzenleyebileceğimizi görürüz. Bu düzenleme yapıldığında (3.13)'deki normal denklemelerini

$$\sum_{m=1}^M h_o(M-m+1) r(m-k) = r(M-k+1), \quad k=1, 2, \dots, M \quad (3.19)$$

şeklinde ileri lineer prediktör滤器 katsayıları cinsinden buluruz. (Bak. Şekil 3.5) Yukarda yaptığımız $m=M-m+1$ dönüşümü (3.15) ifadesi içinde yaptığımızda başka bir ilginç sonuç daha karşımıza çıkar:

$$\begin{aligned} p_{b,M} &= r(o) - \sum_{m=1}^M g_o(m) r(M-m+1) \\ &= r(o) - \sum_{m=1}^M g_o(m-m+1) r(m) \\ &= r(o) - \sum_{m=1}^M h_o(m) r(m) \\ &= p_{f,M} \end{aligned} \quad (3.20)$$

(3.20) ifadesinden görüleceği gibi durağan bir işlem için (stationary process) ileri tahmin hatası $f_M(n)$ ile, geri tahmin hatası $b_M(n)$ karesel ortalama anlamında aynı değere sahiptirler.



Sekil 3.4 : Geri lineer tahmin filtresinin, ileri lineer tahmin filtre katsayıları cinsinden gerçekleştirilmesi.

Tekrar (3.19) ifadesine dönerken incelememize devam edelim. Bu ifadede $m=m-1$, $k=k-1$ dönüşümlerini yapalım. Bunu yaptığımızda (3.19) ifadesi yerine

$$\sum_{m=0}^{M-1} h_0(M-m) r(m-k) = r(M-k), \quad k=0, 1, \dots, M-1 \quad (3.21)$$

bağıntısını buluruz. Şimdi bu ifadenin sağ tarafındaki terimi (3.6) bağıntısında dikkate alarak toplamanın içine dahil edebiliriz. Gerçekten de bunu yaptığımızda geri lineer prediktör filtresine ait normal denklemelerini, ileri lineer prediktör katsayıları cinsinden değişik bir formda elde ederiz. Yani:

$$\sum_{m=0}^M a_M(M-m) r(m-k) = 0 \quad k=0, 1, \dots, M-1 \quad (3.22)$$

Benzer şekilde geri lineer prediktör filtresine ait karesel ortalama hata ifadesini de yine $h_0(m)$ katsayıları cinsinden yazabiliriz. Bu yapıldığında:

$$P_{b,M} = r(0) - \sum_{m=0}^{M-1} h_0(M-m) r(M-m) \quad (3.23)$$

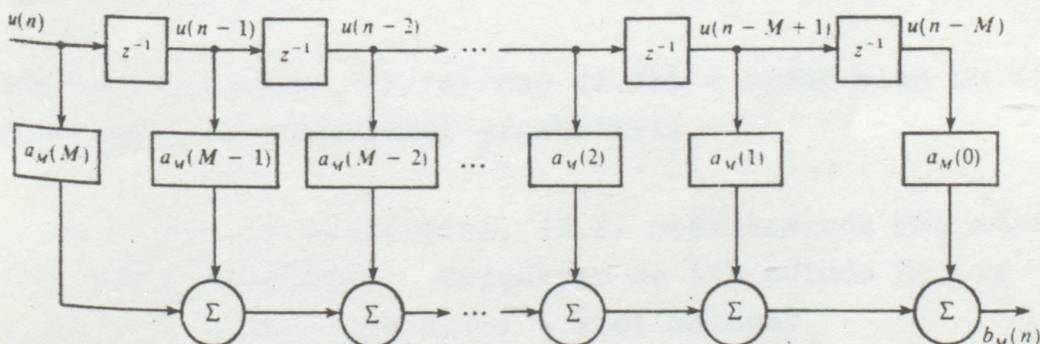
elde edilir. (3.23)'e dikkat edildiğinde $r(o)$ 'ın $m=M$ için $r(M-m)$ 'e eşit olduğu görülür. Bu ise $r(o)$ terimini, üst sınırları değiştirecek toplamanın içine dahil edebileceğimizi gösterir. Bunu yaparak ve yine (3.6) bağıntısını da dikkate alarak (3.23) için

$$P_{b,M} = \sum_{m=0}^M a_M(M-m) \cdot r(m-M) \quad (3.24)$$

eşitliğini buluruz. (3.24) eşitliğine baktığımızda, $k=M$ için (3.22)'nin (3.24)'e eşit olduğu görülür. Bu da bize bu iki bağıntıyı tek bir ifade altında birleştirebileceğimizi ima eder. Gerçekten bunu yaptığımızda

$$\sum_{m=0}^M a_M(M-m) r(m-k) = \begin{cases} 0 & , k = 0, 1, \dots, M \\ P_{b,M} & , k = M \end{cases} \quad (3.25)$$

ifadesini buluruz. En son elde ettiğimiz bu eşitliğe, geri lineer prediktör filtresi için "Genelleştirilmiş Normal Denklemeleri" denir.



Sekil 3.5 : Geri tahmin-hata filtresi.

3.3. Levinson-Durbin Algoritması

Burada ileri lineer prediktör filtresine ait normal

denklemlerin çözümünü rekürsif bir tarzda veren Levinson-Durbin algoritmasını sunacağız. Ancak sadece sonuçlar ve rilecek olup, bu sonuca nasıl gelindiği incelenmeyecektir. İşlenen $u(n)$ dizisinin deterministik olduğunu kabul ederek beklenen değerler yerine gerekli karşılıkları doğrudan yazılmıştır. Buna göre çözüm algoritması aşağıda verilmiştir.

$$p_f(0) = r(0)$$

$$k(i) = - \{ r(i) - \sum_{j=1}^{i-1} a(j, i-1) r(i-j) \} / E(i-1) \quad (3.26)$$

$$a(i, i) = k(i)$$

$$a(j, i) = a(j, i-1) - k(i) a(i-j, i-1), \quad 1 \leq j \leq i-1 \quad (3.27)$$

$$P_f(i) = (1 - k^2(i)) P_f(i-1) \quad (3.28)$$

yukardaki denklemler rekürsif bir tarzda $1 \leq i \leq M$ için çözüldükten sonra, son olarak prediktör katsayıları

$$a_M(i) = a(i, M), \quad , \quad 1 \leq i \leq M \quad (3.29)$$

şeklinde bulunur. (3.26)'dan (3.29)'a kadar olan bu ifadelerden şu açıklamaları yapabiliriz.

1- $P_f(0) = r(0)$ eşitliğini, (3.8) bağıntısında $M=0$ koyarak elde etmek mümkündür. Gerçekten de ilk adımda $M=0$ ve $a_0(0) = 1$ olduğu için $P_f(0) = r(0)$ bulunur.

2- $k(i)$ katsayıları literatürde yansıma katsayıları diye tabir edilir. Bu katsayılar her adım için

$$|k(i)| \leq 1$$

$$|k(i+1)| \leq |k(i)|$$

bağıntılarını sağlarlar. Bu katsayılar özellikle ses sentezinin yapılması halinde bir test parametresi olarak kullanılmaya çok elverişlidir. Bu yüzden önemi büyktür.

3- Yukardaki bağıntılarda kullanılan özilişki katayıları şu bağıntıyla verilir:

$$r(i) = \sum_{m=0}^{N-1-i} u(m) u(m-i) \quad (3.30)$$

Burada N, üzerinde işlem yapılan dizinin uzunluğudur. Burada şu noktaya açıklık kazandırmak gereklidir, söyleki; şu ana kadar yapılan incelemelerde prediktör hata filtresinin derecesi olan M aynı zamanda sanki dizinin uzunluğu gibi anlaşılması olabilir. Bu durum mümмündür. Ancak dizi uzunluğu N, M ile sınırlı değildir. N dizi uzunluğunu belirleyen faktörlerden en önemlisi, işaretin durağan olduğu süredir. Eğer işaret, sürekli durağan bir işaretse, analiz aralığı da diyebileceğimiz N dizi uzunluğu, istenen uygun bir değerde seçilebilir. Ancak işaretin kesikli durağan olması halinde analiz aralığı olarak, işaretin durağan olduğu, ortalaması bir süreyi almak gereklidir. Mesela ses işaretleri bu şekilde kesikli durağan bir yapıya sahiptir. Daha sonra da bahsedildiği gibi, ses işaretini bir sesli harfin söylenişine aitse, belli bir pitch peryoduyla tekrar eden durağan bir yapıdadır. Ses işaretini eğer bir sessiz harfin söylenişine aitse bu durumda işaretin yüksek frekans bileşenleri çok yüksek olacağından yine kendi içinde bir durağanlığı sahiptir. Dolayısıyla ses işaretinin incelenmesinde önce işaretin seslimi yoksa sessizmi harflere ait olduğunu yani durağanlık süresini belirlemek gereklidir. Pratikte ses işaretleri için bu durağanlık süresi 10 ile 30 msn arasında değişir. Ses analizi

esnasında bu süreyi ya adaptif olarak belirlemek gereklidir. Ya da ortalama bir değer almak gereklidir. (3.30) ile verilen özilişki bağıntısındaki $u(m)$ giriş dizisini esasen bir pencere fonksiyonu ile çarpmak gereklidir. Bu, özilişki katsayısının tanımından gelen bir kısıtlamadır ve bunu şöylece gösterebiliriz:

Özilişki fonksiyonu en genelde

$$r(i) = \sum_{m=-\infty}^{\infty} u(m) u(m-i) \quad (3.31)$$

bağıntısıyla verilir. Ancak yukarıda açıkladığımız nedenlerden ötürü pratikte böyle sınırsız bir analiz aralığı almak mümkün değildir. Bu durumda işaretin durağan olduğu süre dikkate alınarak belli bir dizi uzunluğu seçmek gereklidir. Yani işaret durağan olduğu süre içinde pencerenerek incelemelidir. $W(n)$ ile göstereceğimiz ve

$$W(n) = \begin{cases} W(n) & 0 \leq n \leq N-1 \\ 0 & \text{dışında} \end{cases} \quad (3.32)$$

şeklinde tanımlayabileceğimiz maksada uygun bir pencere fonksiyonu ile giriş dizisini çarpmak gereklidir. Bu durum dikkate alındığında özilişki fonksiyonu için;

$$r(i) = \sum_{m=0}^{N-1-i} u'(m) u'(m-i) \quad (3.33)$$

yazmak mümkündür. Burada $u'(m)$

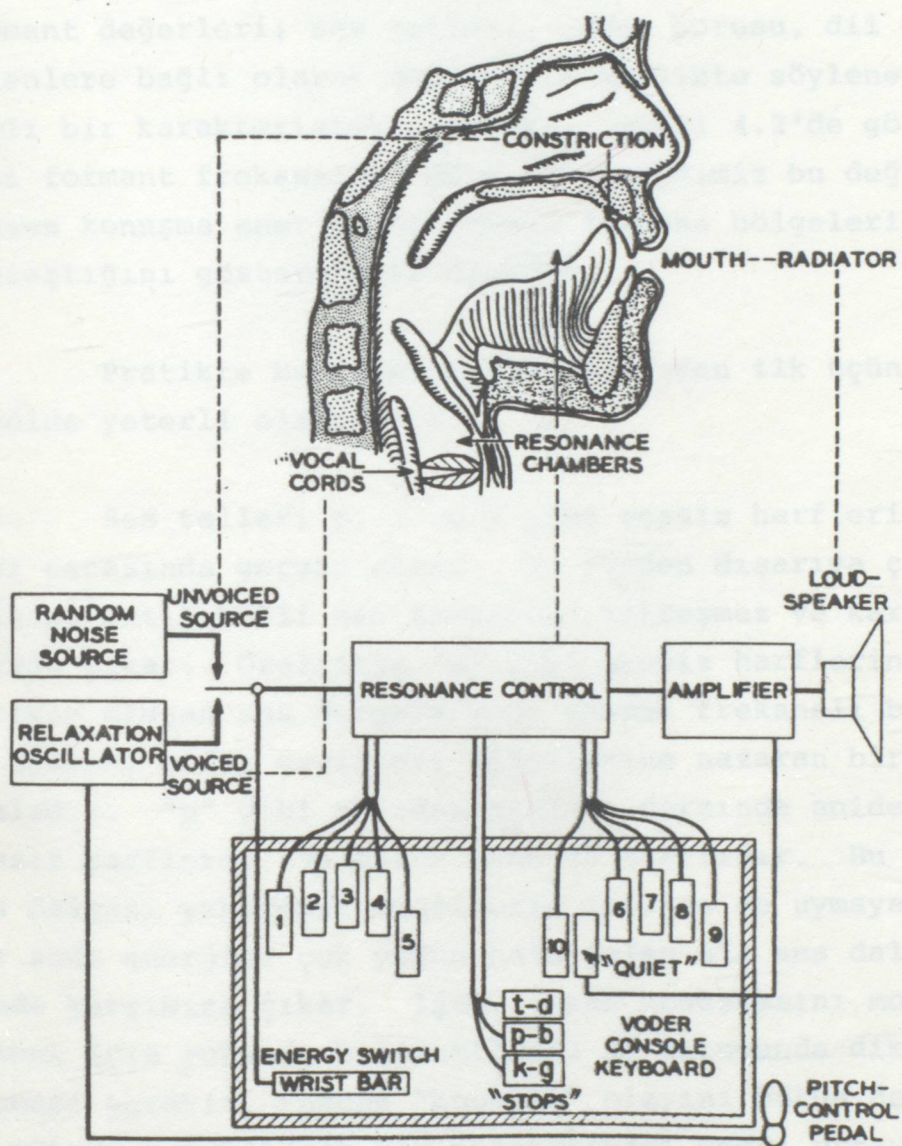
$$u'(m) = \begin{cases} u(m) \cdot W(n) & 0 \leq n \leq N-1 \\ 0 & \text{dışında} \end{cases} \quad (3.24)$$

bağıntısıyla belirlidir.

4- KONUŞMA ÜRETİMİNİN MEKANİZMASI

Sekil 4.1'de insan konuşmasının üretim mekanizması şematik olarak gösterilmiştir. Normal ses üretiminde, konuşmadan hemen önce otomatik olarak göğüs genişler, ciğerler havayla dolar. Bu hava konuşma esnasında nefes yollarından geçerek dışarı itilir. Havanın bu dışarı itilmesi esnasında sesli harfleri söyleken olduğu gibi ses telleri gerginse, ses yolu titreşim ya da osilasyon modunda çalışır. Gerçekten de, herhangibir sesli harfi söyleken sesi çıkarmadan hemen önce ses telleri gergin hale gelir. Konuşma anında dışarı itilen havanın zorlamasıyla bu teller belli bir frekansta titreşir. Dolayısıyla dışarı çıkan ve algılanan ses dalgası aynı frekansta titreşen kısa süreli bir dalga olacaktır. Ses tellerinin bu titreşim frekansının tersi olan titreşim peryoduna "Pitch Peryodu" denir. Pitch Peryodu, sesli harflerin tipik bir özelliği olup, insandan insana çok az farkeden bir karakteristik değerdir. Bu yüzden ses analiz ve sentez sistemlerinde, özellikle yapay ses üretiminde kullanılan temel öğelerden biridir. Ses tanıma sistemlerinde de yine, ayıraç olarak kullanılabilen bir karakteristiktitir. Pitch peryodunun tipik değeri 10 ile 20 ms arasında değişir.

Ses yolu (Vocal Tract) bir bütün olarak ciğer boşluklarından dudaklara dek uzanan üniform olmayan akustik bir tüp gibidir. Yetişkin bir bayanda bu borunun uzunluğu tipik olarak 17 cm civarındadır. Bu nonüniform tüpün kesiti, tüp boyunca yayılan diğer organlarında etkisiyle 0 cm^2 den 20 cm^2 ye kadar değişen bir değere sahiptir. Ses

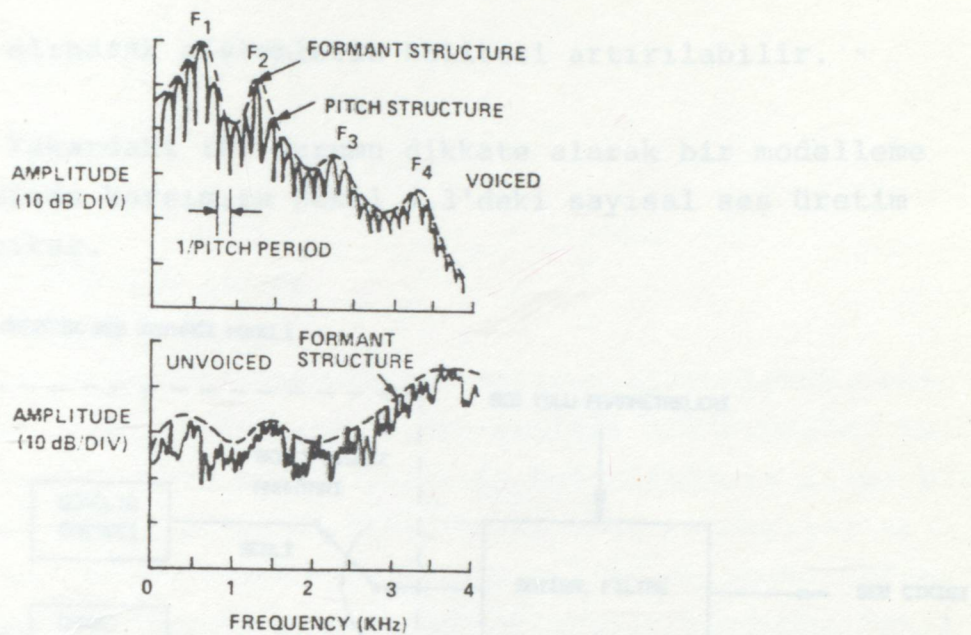


Şekil 4.1: İnsanda ses üretim mekanizması

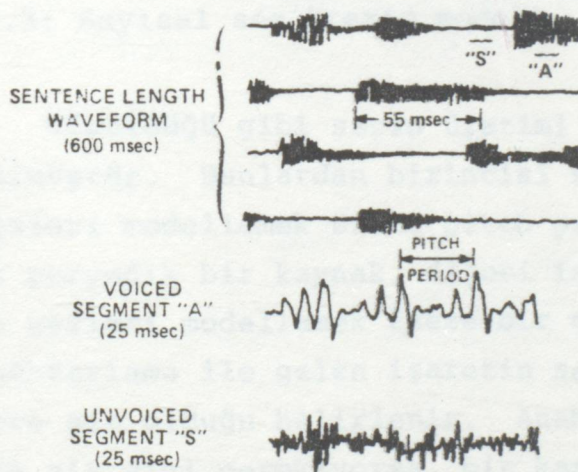
yolu akustik bir tüp olması nedeniyle "Formantlar" adını verdiğimiz bazı rezonans modlarında titreşim yapar. Bu formant değerleri; ses telleri, nefes borusu, dil v.s gibi etkenlere bağlı olarak değişmekle birlikte söylenen söze bağlı bir karakteristik değerdir. Şekil 4.2'de görüleceği gibi formant frekansları diye belirttiğimiz bu değerler, esasen konuşma enerjisinin hangi frekans bölgelerinde yoğunlaştığını gösteren bir ölçütür.

Pratikte bu formant değerlerinden ilk üçünü almak genelde yeterli olmaktadır.

Ses telleri p, z ve s gibi sessiz harflerin söylemesi esnasında gergin olmaz. Bu yüzden dışarıya çıkan ses dalgası artık belli bir frekansta titreşmez ve karışık bir tarzda çıkar. Özellikle "s" gibi sessiz harflerin söylemesiyle oluşan ses dalgalarının yüksek frekanslı bileşenleri baskın, sıfır geçişleri diğerlerine nazaran birkaç kat fazladır. "p" gibi ağızdan patlama tarzında aniden çıkan sessiz harflerde ise durum daha da farklıdır. Bu durumda ses dalgası yukarıdaki modellerin ikisine de uymayarak, belli bir anda enerjisi çok yoğun hale gelen bir ses dalgası şeklinde karşımıza çıkar. İşte, insan konuşmasını modelleyebilmek için yukarıda belirttiğimiz üç durumunda dikkate alınması gereklidir. Ancak "konuşma" olayını bütün detaylarıyla ortaya koyabilecek bir matematiksel model ortaya koymak hemen hemen imkansız gibidir. Çünkü "konuşma", konuşmacının psikolojik halinden ve konuşma ortamından tutunda, konuşmanın sürekli yoksa kesiklimi olmasına bağlılığı gibi, dıştan müdahale edilemeyecek bir çok nedenlere bağlıdır. Mamafih pratikte, yukarıda anlatılan ilk iki tip "konuşma" çeşidini modellemek mümkün ve çoğu kez yeterli olur. "Konuşma" ile alakadar ses sentezi ve özellikle ses tanıma sistemlerinin tasarımlarında ihtiyaca göre sesin dikkate alınması gereken bir çok özelliği mevcuttur. Bunlar da



Şekil 4.2: (a) Sesli ve sessiz harflere ilişkin pitch ve formant yapısının frekansla değişimi.

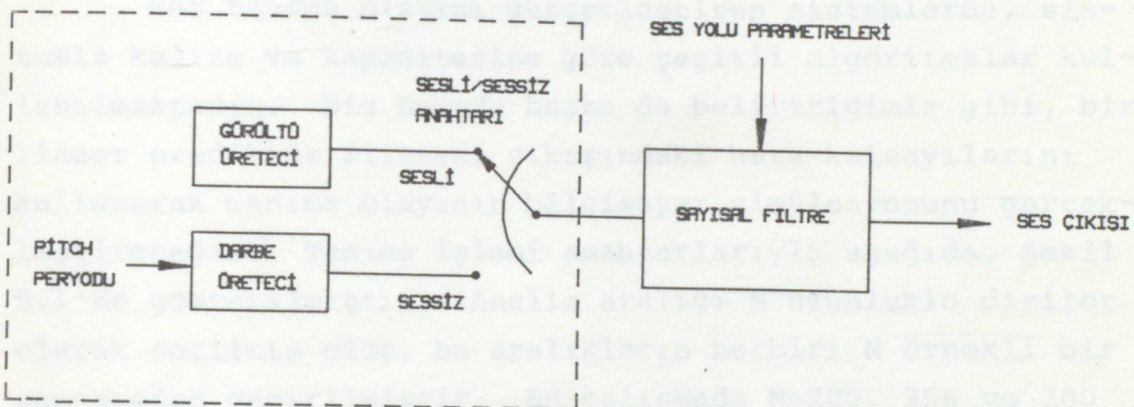


Şekil 4.2: (b) Sesli ve sessiz harflere iliskin dalga şekli örnekleri

dikkate alınarak sistemlerin kalitesi artırılabilir.

Yukardaki iki durumu dikkate alarak bir modelleme yaptığımızda karşımıza Şekil 4.3'deki sayısal ses üretim modeli çıkar.

AKUSTİK SES KAYNAĞI MODELİ



Şekil 4.3: Sayısal ses üretim modeli.

Görüldüğü gibi sesin üretimi için iki ana kaynak düşünülmüştür. Bunlardan birincisi sesli harflere ilişkin sesleri modellemek üzere pitch peryoduna sahip darbeler üreten peryodik bir kaynak, diğer ise sessiz harflere ilişkin sesleri modellemek üzere bir gürültü kaynağıdır. Bir anahtarlama ile gelen işaretin seslimi yoksa sessizmi harflere ait olduğu belirlenir. Anahtarlama çıkışındaki işarete ait dizi gerekiyorsa, bir kazanç parametresi ile kuvvetlendirildikten sonra ses yolu'nu ya da vocal tract'ı temsil eden bir sayısal filtreye girilir. Filtrenin çıkışından ise ses işaretini elde edilir.

Şekil 4.3 esasen bir ses sentezi sisteminin anahtarlarını da göstermektedir. Modern sayısal ses sentezleyici sistemleri bu yapıyı referans almışlardır.

bu pencere fonksiyonunun matematiksel ifadeleri
noktadağı gibi dir.

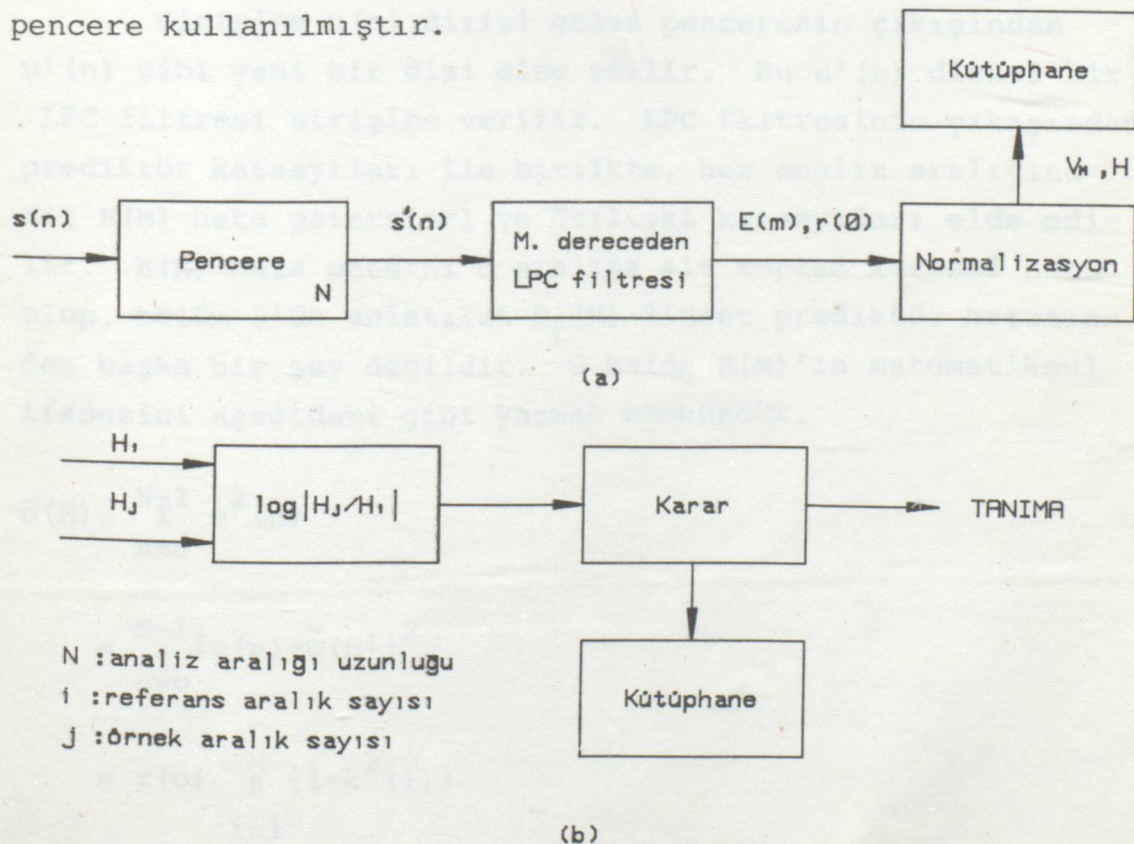
Hanning window:

$s(n) = \sin(\pi n / N)$ (n=0, 1, ..., N-1)

$s(n) = \sin(\pi n / N)$ (n=0, 1, ..., N-1)

5- LOGARİTMİK SES TANIMA

Ses tanıma olayını gerçekleştiren sistemlerde, sistemin kalite ve kapasitesine göre çeşitli algoritmalar kullanılmaktadır. Biz burada başta da belirttiğimiz gibi, bir lineer prediktörfiltresi çıkışındaki hata katsayılarını kullanarak tanıma olayın bilgisayar simülasyonunu gerçekleştireceğiz. Tanıma işlemi anahtarlarıyla aşağıda, Şekil 5.1'de gösterilmiştir. Analiz aralığı N uzunluklu diziler olarak seçilmiş olup, bu aralıkların herbiri N örnekli bir pencereden geçirilmiştir. Bu çalışmada N=200, 256 ve 300 olarak üç ayrı analiz aralığı seçeneği kullanılmış, pencere fonksiyonu için de Hamming ve Hanning şeklinde iki ayrı pencere kullanılmıştır.



Şekil 5.1: (a) Kayıt modu (b) Tanıma modu

Bu pencere fonksiyonlarının matematiksel ifadeleri aşağıdaki gibidir.

Hamming window:

$$N \text{ tek için } w(n) = 0.54 + 0.46 \cos\left\{2\pi n/(N-1)\right\}, -(N-1)/2 \leq n \leq (N-1)/2$$

$$N \text{ çift için } w(n) = 0.54 + 0.46 \cos\left\{2\pi(2n-1)/(N-1)\right\}, -(N/2) \leq n \leq (N/2-1)$$

Hanning window:

$$N \text{ tek için } w(n) = 0.5 + 0.5 \cos\left\{2\pi n/(N-1)\right\}, -(N-1)/2 \leq n \leq (N-1)/2$$

$$N \text{ çift için } w(n) = 0.5 + 0.5 \cos\left\{2\pi(2n-1)/(N-1)\right\}, -(N/2) \leq n \leq (N/2-1)$$

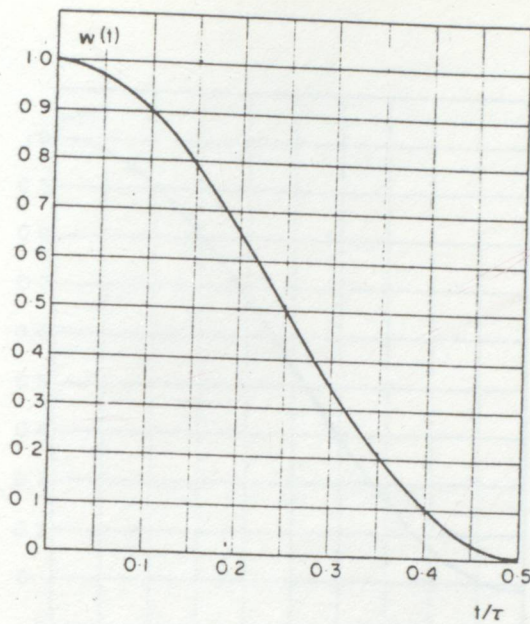
Bu fonksiyonlara ilişkin zaman ve frekans domenindeki genlik cevapları Şekil 2, 3, 4 ve 5'de verilmiştir. Bu arada şunu belirtmek gereklidir, Şekil 2'dan Şekil 5'e kadar olan çizimler pencere fonksiyonlarının sürekli halleri içindir. Buradan ayrık hale geçmek mümkündür.

Girişine $u(n)$ dizisi gelen pencerenin çıkışından $u'(n)$ gibi yeni bir dizi elde edilir. Bu $u'(n)$ dizisi bir LPC filtresi girişine verilir. LPC滤resinin çıkışından prediktör katsayıları ile birlikte, her analiz aralığına ait $E(M)$ hata paternleri ve özilişki katsayıları elde edilir. $E(M)$ hata paterni o aralığa ait toplam karasel hata olup, bölüm 3'de anlatılan $P_f(M)$ lineer prediktör hatasından başka bir şey değildir. O halde $E(M)$ 'in matematiksel ifadesini aşağıdaki gibi yazmak mümkündür.

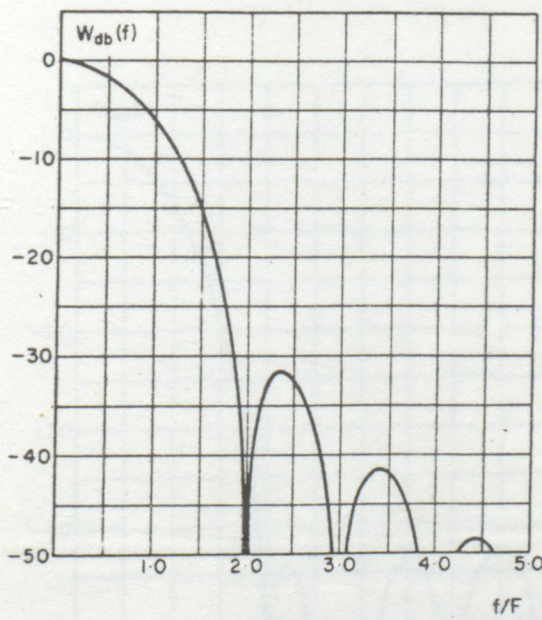
$$E(M) = \sum_{n=0}^{N-1} e^2(n)$$

$$= \sum_{n=0}^{N-1} \{u(n) - \tilde{u}(n)\}^2$$

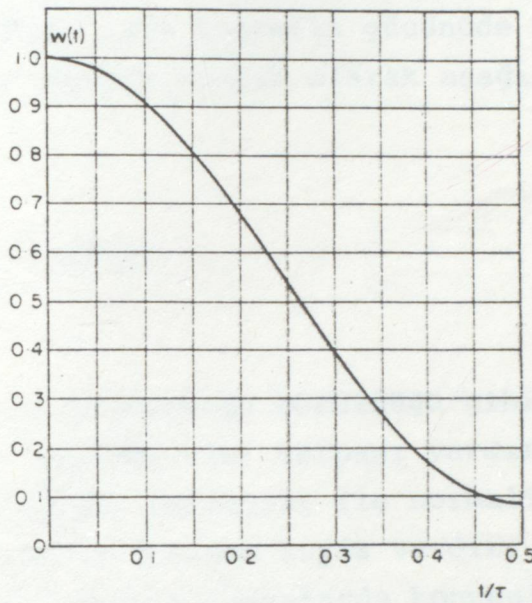
$$= r(0) \prod_{i=1}^M \{1 - k^2(i)\}$$



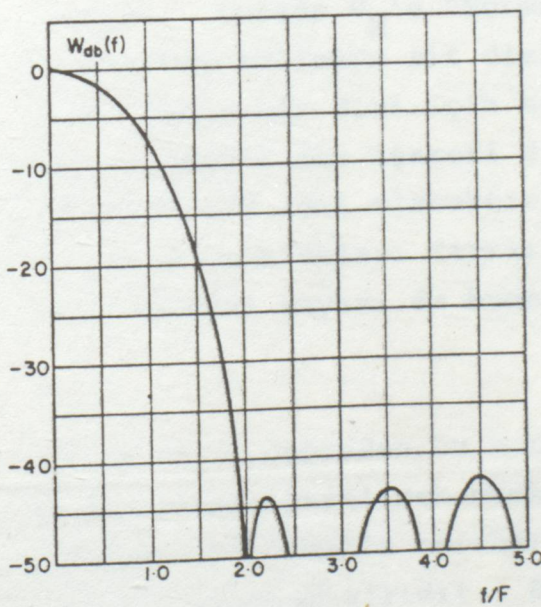
Şekil 5.2: Hanning pencere fonksiyonu



Şekil 5.3: Hanning pencere fonksiyonunun
frekans-genlik cevabı



Şekil 5.4: Hamming pencere fonksiyonu



Şekil 5.5: Hamming pencere fonksiyonunun
frekans-genlik cevabı.

Burada $r(o)$ özilişki katsayısı olup aynı zamanda her analiz aralığı için işaretin gücünde belirler. Özilişki katsayısını deterministik olarak aşağıdaki gibi ifade etmek mümkündür.

$$r(o) = \sum_{n=0}^{N-1-i} s^2(n) \quad (5.3)$$

(5.2) ifadesinde görüldüğü gibi $E(m)$ hata paterni ifadesinin başında $r(o)$ çarpanı vardır. $E(m)$ ifadesinin bu $r(o)$ özilişki katsayısı ile normalize edilmesinde ses tanıma işlemi açısından fayda vardır. Çünkü bu şekilde aynı kelimenin farklı zamanlarda konuşulmasından kaynaklanan şiddet farkları ile bir derece elimine edilir. Bu normalizasyon işlemi yapılrsa, normalize hata paterni;

$$V_M \triangleq \frac{E(M)}{r(o)} \quad (5.4)$$

ifadesiyle verilir. Burada V_M 'e "Normalize Hata Paterni" denir. Konuşulan bir kelimeye ait dizinin uzunluğunu L ile gösterirsek, böyle bir dizi için analiz aralığı L/N olur. Dolayısıyla her bir ses işaretini dizi için elde edilen hata paterni de L/N adet olacaktır. Konuşulan farklı kelimeler için dizi uzunlukları farklı olacağından her bir diziye ait hata paterni sayısı da buna bağlı olarak değişektir.

Tanıma işlemini doğrudan bu normalize hata paternerini kullanarak gerçekleştirmek mümkün değildir. Bu, sistemin kalitesi açısından iyi olmakla beraber tanıma süresini uzatması açısından dezavantajlıdır. Bu yüzden bir adım daha giderek "Tanıma Paterni" dediğimiz ve H ile gösterdiğimiz yeni bir hata paterni daha tanımlayacağız. H tanıma

paterni ; normalize hata paternlerinin her analiz aralığı için iki katlarının dördüncü kuvveti alınıp her kelime dizisine ait analiz aralığı sayısı L/N boyunca toplamının alınmasıyla elde edilir. Yani matematiksel olarak aşağıdakiler gibi ifade edilir :

$$H \stackrel{\Delta}{=} \frac{L/N}{\sum_{i=1}^M \{2V_M(i)\}^4} \quad (5.5)$$

Burada L/N analiz aralığı sayısı ve V_M normalize hata paternidir.

Bu ifadede, neden 2 çarpanının bulunduğu ve neden dördüncü kuvvetin alındığını söylece izah edebiliriz : Her bir analiz aralığına ait normalize hata paterni için $|V_M| < 1$ olduğu gösterilebilir. Elde bulunan ve tanınmak için üzerinde işlemler yapılan ses dizileri için yine $|V_M| > 0.5$ olduğu gözlenmiştir. Bu durumda 2 ile çarptığımız takdirde 1'den büyük bir rakam elde edilecektir. Elde edilen bu 1'den büyük rakamın karesi yada dördüncü kuvveti gibi bir kuvveti alınırsa tanıma hassasiyeti açısından faydalı olacağı düşünülmüştür. Burada biz dördüncü kuvvetini tercih ettik.

Tanınması istenilen her bir ses yada kelime paterni için bu şekilde bir H değeri elde edilir. Buraya kadar yapılan işler Şekil 1-a da sembolize edilmiştir. Dikkat edilirse bu analiz işlemleri "Kayıt" ve "Tanıma" modları diye bileyebileceğimiz her iki durum için de söz konusudur.

Kayıt modu dediğimiz mod, örnek kelimelerin analiz edilerek sisteme tanıtılmasıdır. Bir insanın bir diğer insanın konuşmasını nasıl tanıdığını düşünürsek buradaki kayıt işleminin neden gereği ortaya çıkar. İnsan daha önce duyduğu bir sesi, sahibini görmemekle beraber bir telefon

konusması esnasında tanıyalabilir. Ancak daha önce kimden geldiğini öğrenmediği ve duymadığı bir sesi tanıymaz. Buda bize gösterirki tanıma için önce bir öğrenme devresi gerekir. İşte bu öğrenme devresini biz burada "Kayıt" modu diye adlandırdık. Bizim çalışmamızda sisteme öğrettilip kaydedilecek olan parametre ise, herbir kelimeye ait ses dizi- si için bir adet olan tanıma paterni dediğimiz H' değerleridir. (5.5) ifadesiyle de bunun nasıl elde edileceği belirlidir.

Tanıma modu ise, adından anlaşılacağı üzere sisteme herhangibir anda girilen sesin tanınması için yapılan çalışmadır. Yukarda da belirttiğimiz gibi hem kayıt modu için, hem tanıma modu için Şekil 5.1.a'da blok diyagram halinde verilen analiz işlemleri yapılarak H tanıma paternleri elde edilir.

Şimdi tanıma işleminin nasıl gerçekleştiğini inceleyelim. Tanıma esasen bir karşılaştırma işlemidir. Yani sisteme daha önceden öğretilen ve kaydedilen birtakım parametrelerin, sisteme tanınmak üzere yeni girilen sese ait parametrelerle kıyas edilerek bir sonuca varılmasıdır. Bu karşılaştırma süresi aynı zamanda tanıma süresinin de bir miktarını işgal edeceğinden karşılaştırılacak parametre sayısı arttıkça tanıma süresi de artar. Toplam tanıma süresi, (parametre analiz süresi) artı (parametre karşılaştırma süresi) olduğundan çeşitli durumlar düşünülerek optimum bir çözüm elde edilebilir. Bizim çalışmamızda karşılaştırılacak olan parametre herbir kelime için 1 adet H tanıma paternidir. Çalışmamızda tanınmaya çalışılacak olan kelimeler "1" den "10" kadar rakamların Türkçe söylenmelerinden elde edilen kelimelerdir. Yani "Bir, iki,..., on" dur. Karşılaştırılacak parametre sayısı kelime başına yalnız bir adet ve kütüphanedeki kayıtlı kelimeler on adet olduğundan analiz işlemlerinden sonraki karşılaştırma süresi toplam tanıma

süresinin çok az bir miktarını işgal edecktir.

Karşılaştırma işleminin ne olduğunu ise şöyle izah edebiliriz: Sisteme daha önceden kaydedilen tanıma paternlerini H_i ile, tanıma işlemi esnasında elde edilen parametreyi ise \hat{H}_j ile gösterelim. Kütüphanede on adet kelime bulunduğuna göre on adet kayıtlı H_i değeri olduğunu söylemek mümkündür. Bundan sonraki açıklamalarımızda H_i 'lerden herbiri için referans tanıma paterni diye bahsedeceğiz. H_j 'leri ise bilinmeyen tanıma paterni diye belirteceğiz.

Referans ve bilinmeyen tanıma paternlerini kullanarak bir uzaklık fonksiyonu tanımlamak mümkündür. Bu uzaklık fonksiyonu herbir referans paternin, bilinmeyen paterne oranının logaritması olarak tarif edilmiştir. Yani;

$$D(i,j) \stackrel{\Delta}{=} \text{abs}\{\log(H_i/\hat{H}_j)\} \quad , i=1,2,\dots, 10 \quad (5.6)$$

Burada $D(i,j)$ uzaklık fonksiyonu, abs ise mutlak değer fonksiyonunu gösterir.

Neden böyle bir uzaklık fonksiyonun tanımlandığı kolayca görülebilir. İdeal halde, yani dış etkenlerin gözardı edilmesi halinde, eğer tanınmak üzere sisteme girilen kelime kütüphanedeki i. kelimeye karşılık geliyorsa $\hat{H}_j = H_i$ olacaktır. Uzaklık fonksiyonunun aldığı değer ise sıfır olacaktır. Yani;

$$D(i,j)=0 \quad , H_i=\hat{H}_j \text{ için}$$

olur. O halde bir genelleme olarak patikte şunu söylemek mümkündür. $D(i,j)$ fonksiyonu, bilinmeyen paternin referans paternine eşit olması halinde minimum değerini alır. Yada başka bir deyişle, sisteme tanınmak üzere gelen ve \hat{H}_j bilinmeyen paternine sahip olan kelime $D(i,j)$ uzaklığını

minimum yapan ve kütüphanedeki H_i referans paternine sahip olan i. kelimedir.

Son cümle ile $D(i,j)$ uzaklık fonksiyonunu kullanarak tanıma olayını nasıl gerçekleştireceğimizi özetlemiş olduk. Görüldüğü gibi tanınmak üzere sisteme girilen ve H_j bilinmeyen paternine sahip kelime, kütüphanedeki referans paternlerinden hangisiyle minimum bir uzaklığa sahipse o kelimeye eşit şeklinde bir sonuç kararı verilir.

Pratikte hiçbir zaman aynı kelimeye ait referans paterniyle, bilinmeyen paternlerinin eşit olması mümkün değildir. En ideal halde bile aralarındaki fark ancak belli bir minimuma inebilir. Bunun birçok nedeni vardır. Bunları ; kelimeyi söyleyen kişinin değişmesi, ortam gürültüsü, farklı zamanlarda söylemekten kaynaklanan şiddet farklılıkları vs. gibi sıralayabiliriz. Bu bozucu etkenlere karşı etkisini azaltmak üzere önlem almak mümkündür. Ancak bunlarda herbiri için ayrı bir tasarım gerektirir. Biz bu etkilerden sadece şiddet farklılıklarının etkisini azalttık. Bunu ise normalizasyonla yaptığımızı belirtmiştik.

6- SİMÜLASYON ve SONUÇLARI

6.1. Tanıtım

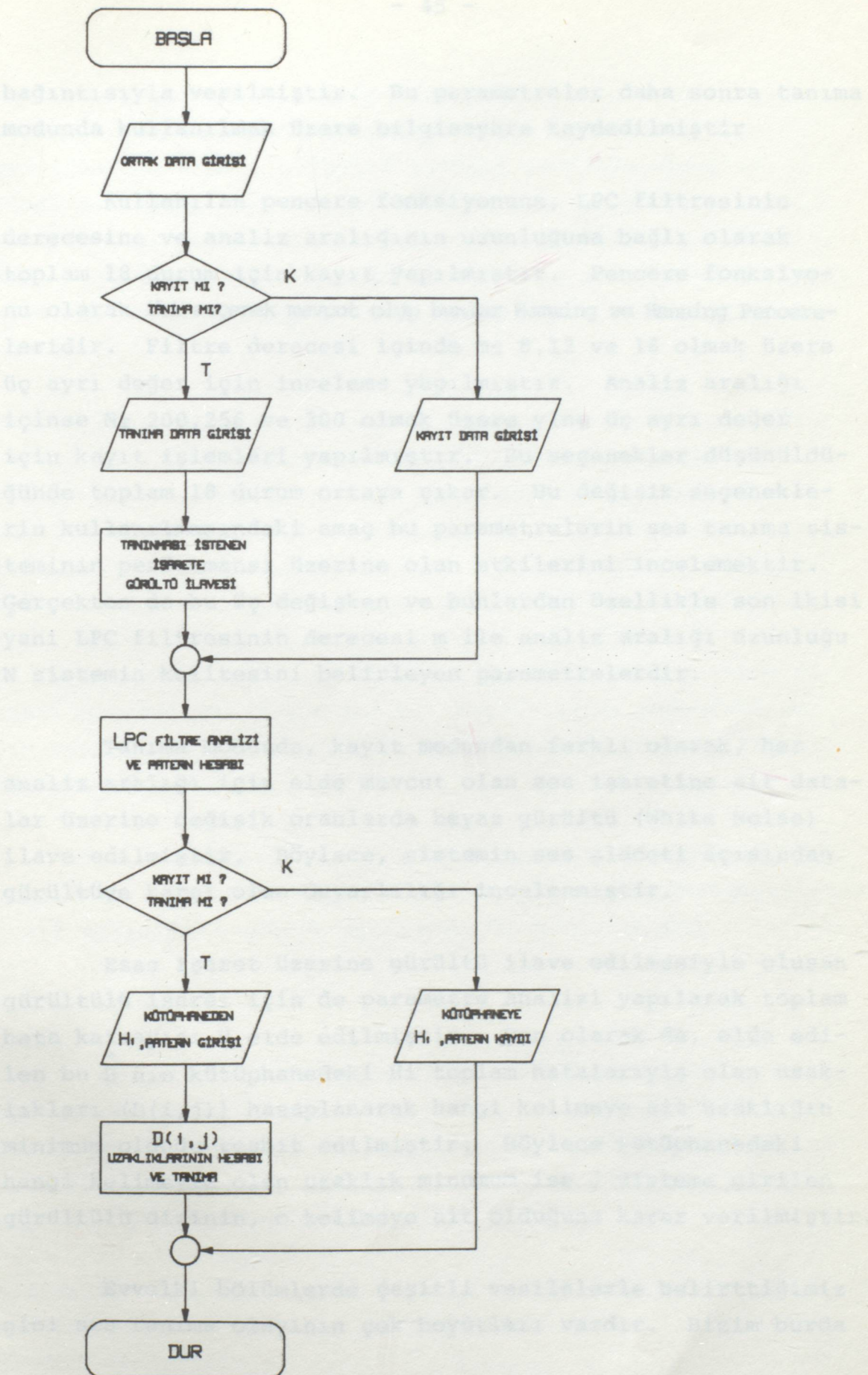
Simülasyon işlemi, geçen 5 bölümde anlalılan teori ve yöntemler esas alınarak bir VAX-11 sisteminde yüksek seviyeli bir programlama dili olan FORTRAN-77 kullanılarak gerçekleştirılmıştır.

İlk olarak bir erkek kişinin söylediği bir'den on'a kadar rakamların Türkçe söylenişleri, 10 kHz'lik bir örneklem frekansıyla örnekleştererek, elde edilen sayısal değerler sisteme kaydedilmiştir. Sonra da bu sayısal datalar işlenerek sonuca gidilmiştir.

Ses tanıma işleminin yapısı itibarıyla çalışma iki aşamada gerçekleştirılmıştır. Tahmin edileceği gibi ilk aşama kayıt modunu, ikinci aşama ise tanıma modunu gösterir Program, yazılım itibarıyla bir bütün halindedir. Ancak çalışılan moda uygun olarak kendi içinde dallanmalar mevcuttur. Programın akış diyagramı şekil 6.1. de verilmiştir. Programın kendisi ise toplu olarak EK-I de verilmiştir.

Elimizdeki ses örneği sadece bir kişiden ve bir defa da alındığı için yöntemin çalışma performansı, eldeki mevcut dataya dışardan gürültü ilave edilerek tesbit edilmeye çalışılmıştır.

İlk aşamada yukarıda da belirttiğimiz gibi elde mevcut olan data işlenerek on adet toplam hata parametresi hesaplanmıştır. Toplam hata parametresi bölüm 5'de (5.5)



Şekil 6.1: Simülasyon programının akış şeması

bağıntısıyla verilmiştir. Bu parametreler daha sonra tanıma modunda kullanılmak üzere bilgisayara kaydedilmiştir

Kullanılan pencere fonksiyonuna, LPC filtresinin derecesine ve analiz aralığının uzunluğuna bağlı olarak toplam 18 durum için kayıt yapılmıştır. Pencere fonksiyonu olarak iki seçenek mevcut olup bunlar Hamming ve Hanning Pencere-leridir. Filtre derecesi içinde $m = 8, 12$ ve 16 olmak üzere üç ayrı değer için inceleme yapılmıştır. Analiz aralığı içinse $N = 200, 256$ ve 300 olmak üzere üç ayrı değer için kayıt işlemleri yapılmıştır. Bu seçenekler düşünüldüğünde toplam 18 durum ortaya çıkar. Bu değişik seçeneklerin kullanılmasındaki amaç bu parametrelerin ses tanıma sisteminin performansı üzerine olan etkilerini incelemektir. Gerçekten de bu üç değişken ve bunlardan özellikle son ikisi yani LPC filtresinin derecesi m ile analiz aralığı uzunluğu N sistemin kalitesini belirleyen parametrelerdir.

Tanıma modunda, kayıt modundan farklı olarak, her analiz aralığı için elde mevcut olan ses işaretine ait data-
lar üzerine değişik oranlarda beyaz gürültü (White Noise)
ilave edilmiştir. Böylece, sistemin ses şiddeti açısından
gürültüye karşı olan duyarlılığını incelenmiştir.

Esas işaret üzerine gürültü ilave edilmesiyle oluşan
gürültülü işaret için de parametre analizi yapılarak toplam
hata katsayısı H elde edilmiştir. Son olarak da, elde edi-
len bu H nin kütüphanedeki H_i toplam hatalarıyla olan uzak-
lıklar ($D(i,j)$) hasaplanarak hangi kelimeye ait uzaklığın
minimum olduğu tesbit edilmiştir. Böylece kütüphanedeki
hangi kelimeyle olan uzaklık minimum ise ; sisteme girilen
gürültülü dizinin, o kelimeye ait olduğuna karar verilmiştir.

Evvelki bölümlerde çeşitli vesilelerle belirttiğimiz
gibi ses tanıma olayının çok boyutları vardır. Bizim burda

yaptığımız çalışma ile elde edilen sonuçlar zaten tahmin edilen birtakım parametre değerlerinin ne olması lazım geldiğinin bir nevi objektif tasdiki şeklinde olmuştur. Çünkü herşeyden önce işaret üzerine eklenen gürültü beyaz gürültü olup pratik uygulama için fazla ideal bir seçimdir. Ancak dediğimiz gibi maksadımız sistemin parametrelere karşı olan hassasiyetini Ölçmek olduğundan bizim için yeterli olmuştur.

Ses tanıma sistemlerinde, sesin farklı kişiler tarafından yada farklı zamanlarda söylemenesinden kaynaklanan iki problem olduğu daha önce vurgulanmıştır. Bunlardan birincisi sesdeki şiddet farklılığı, ikincisi ise süre farklılığı idi. Bu çalışmada şiddet farklılığından doğan sapmalar enerji normalizasyonuyla bir derece elimine edilmişdir. Ancak zaman bakımından meydana gelebilecek değişiklikler incelenmemiştir. Profesyonel sistemlerde bir takım dinamik programlama algoritmaları kullanılarak zamandaki değişimlerin etkisini de minimuma indirmek mümkündür. Burada dikkate alınmamıştır.

Tanıtım açısından son olarak şunları söyleyebiliriz ki ; yapılan çalışma ses tanıma sistemlerinde hangi parametrelerin nasıl etkidiğini görmek açısından faydalı olmuştur

6.2 Sonuçlar

Bu çalışmada ses şiddetinin gürültüyle, yada herhangi bir etkisiyle değişmesinin tanıma olayı üzerine etkilerini incelemeyi hedeflediğimiz için yukarıda belirttiğimiz 18 ayrı durum için işaret-gürültü oranını değiştirerek inceleme yaptık. İncelenilen parametreler şunlardır :

N, (Analiz aralığı)	:	200, 256, 300
M, (LPC Filtre derecesi)	:	8, 12, 16
Pencere Fonksiyonu	:	Hamming, Hanning

Yapılan incelemeler sonucunda en uygun analiz aralığının $N=200$, pencere fonksiyonunun Hanning ve filtre dairesinin ise $M=16$ olduğu görülmüştür. Yani parametreler bu değerlere set edildiğinde tanıma işleminin başarısı en iyi olmaktadır. İnceleme yapılrken herbir durum için işaret-gürültü oranı (S/N), 10 ile 1 aralığında değiştirilmiştir.

Analiz aralığının $N=256$ ve $N=300$ olduğu durumlarda diğer parametreler ne olursa olsun sistem on kelimeden en az birini çok büyük işaret-gürültü oranlarında dahi (1000 gibi) tanıyamaz hale geldiği için bu bölümün geri kalan kısmında sadece $N=200$ için incelemeye devam edeceğiz. Aşağıdaki bölümlerde $N=200$ için diğer parametrelerin durumu incelenmiştir.

6.2.1. Pencere fonksiyonunun seçimi

Tanıma başarısının az bir farkla dahi olsa Hanning penceresinin seçilmesi halinde yüksek olduğunu yukarıda söylemiştir. Şekil 6.2 de Hanning penceresi için, Şekil 6.3 de ise Hamming penceresi için alınan sonuçlar toplu halde verilmiştir. Şekil 6.4 ve Şekil 6.5 de ise sırasıyla Hanning ve Hamming pencereleri için bu sonuçlar grafiğe dökülmüştür. M' lerin aynı olduğu durumlar karşılıklı olarak kıyas edildiğinde herbir durum için (Yani $M=8$, $M=12$, $M=16$ olmak üzere üç ayrı durum için) Hanning penceresi kullanılması halinde tanıma başarısının daha yüksek olduğu görülür. Mesela $M=12$ olması halinde Hanning penceresiyle $S/N = 4$ için sistem bütün kelimeleri tanıyalığı halde (tanıma %100), Hamming penceresiyle on kelimeden bir tanesini yanlış tanımlıdır. Yine grafikten görüleceği gibi Hamming penceresiyle aynı yüzde yüzlük bir tanıma başarısı için minimum işaret-gürültü oranı $S/N=5$ olmalıdır.

M=8
N=200

KELIME (S/N)	1	2	3	4	5	6	7	8	9	10
8	+	+	+	+	+	+	+	+	+	+
7	+	+	+	+	+	+	+	+	+	+
6	+	+	+	+	-	+	+	+	+	+
5	-	+	+	+	-	+	+	+	+	+
4	-	+	+	+	-	+	+	+	+	+
3	-	+	+	-	-	+	-	+	+	+
2	-	-	-	-	-	-	-	+	-	+
1	-	-	-	-	-	-	-	+	-	+

M=12
N=200

KELIME (S/N)	1	2	3	4	5	6	7	8	9	10
8	+	+	+	+	+	+	+	+	+	+
7	+	+	+	+	+	+	+	+	+	+
6	+	+	+	+	+	+	+	+	+	+
5	+	+	+	+	+	+	+	+	+	+
4	+	+	+	+	+	+	+	+	+	+
3	+	+	+	+	-	+	+	+	+	+
2	-	-	+	+	-	+	-	+	-	+
1	-	-	-	-	-	-	-	+	-	+

M=16
N=200

KELIME (S/N)	1	2	3	4	5	6	7	8	9	10
8	+	+	+	+	+	+	+	+	+	+
7	+	+	+	+	+	+	+	+	+	+
6	+	+	+	+	+	+	+	+	+	+
5	+	+	+	+	+	+	+	+	+	+
4	+	+	+	+	+	+	+	+	+	+
3	+	+	+	+	-	+	+	+	+	+
2	-	-	+	+	-	+	-	+	-	+
1	-	-	-	-	+	-	-	+	-	+

Şekil 6.2: Hanning penceresi için alınan sonuçlar

M=8
N=200

KELIME (S/N) \	1	2	3	4	5	6	7	8	9	10
8	+	+	+	+	+	+	+	+	+	+
7	+	+	+	+	+	+	+	+	+	+
6	+	+	+	+	-	+	+	+	+	+
5	-	+	+	+	-	+	-	+	+	+
4	-	-	+	-	-	+	-	+	+	+
3	-	-	+	-	-	+	-	+	-	+
2	-	-	-	-	-	-	-	+	-	+
1	-	-	-	-	-	-	-	+	-	-

M=12
N=200

KELIME (S/N) \	1	2	3	4	5	6	7	8	9	10
8	+	+	+	+	+	+	+	+	+	+
7	+	+	+	+	+	+	+	+	+	+
6	+	+	+	+	+	+	+	+	+	+
5	+	+	+	+	+	+	+	+	+	+
4	+	-	+	+	-	+	+	+	+	+
3	-	-	+	+	-	+	+	+	-	+
2	-	-	+	+	-	-	-	+	-	+
1	-	-	-	-	-	-	-	+	-	+

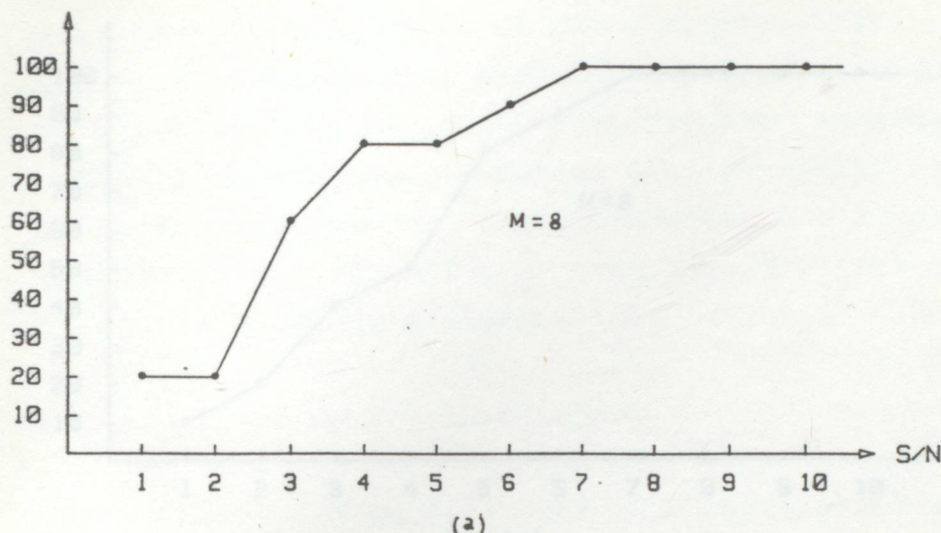
M=16
N=200

KELIME (S/N) \	1	2	3	4	5	6	7	8	9	10
8	+	+	+	+	+	+	+	+	+	+
7	+	+	+	+	+	+	+	+	+	+
6	+	+	+	+	+	+	+	+	+	+
5	+	+	+	+	+	+	+	+	+	+
4	+	+	+	+	-	+	+	+	+	+
3	+	+	+	+	-	+	+	+	-	+
2	-	-	+	+	-	+	+	+	-	+
1	-	-	-	-	-	-	-	+	-	+

Şekil 6.3: Hamming penceresi için alınan sonuçlar

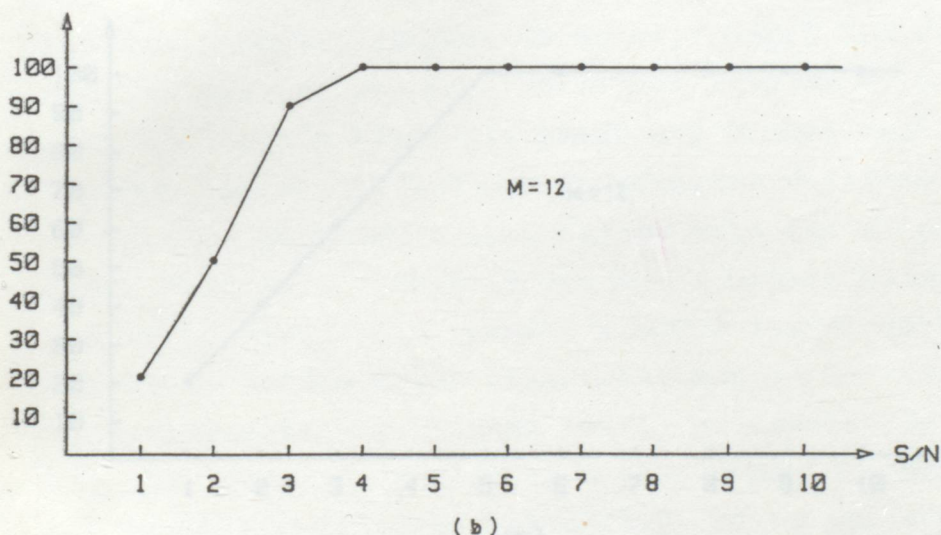
- 50 -
HANNİNG PENCERESİ İÇİN

BASARI(%)



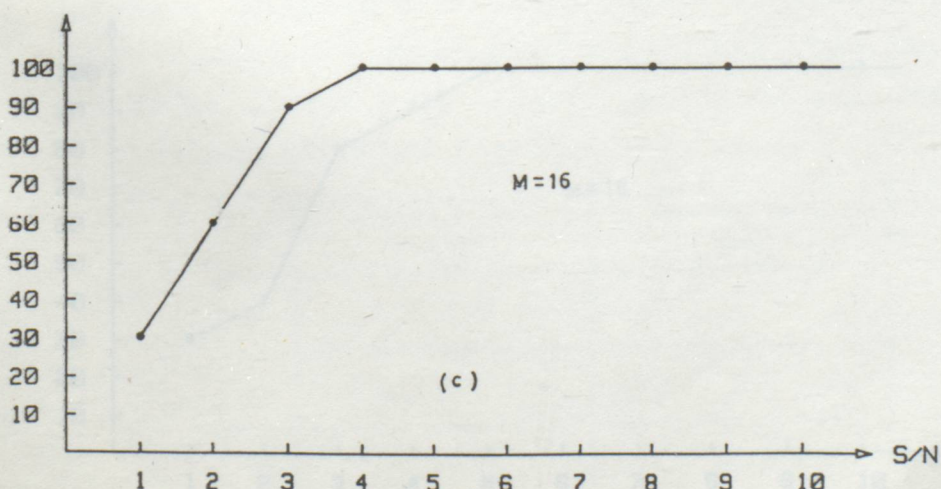
(a)

BASARI(%)



(b)

BASARI(%)

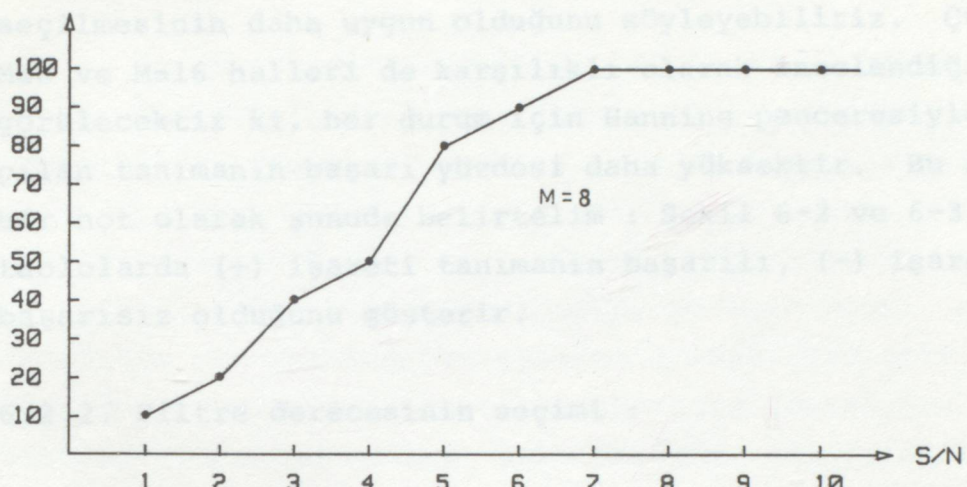


(c)

Şekil 6.4: Hanning penceresinde tanıma başarısının gürültü ile değişimi.

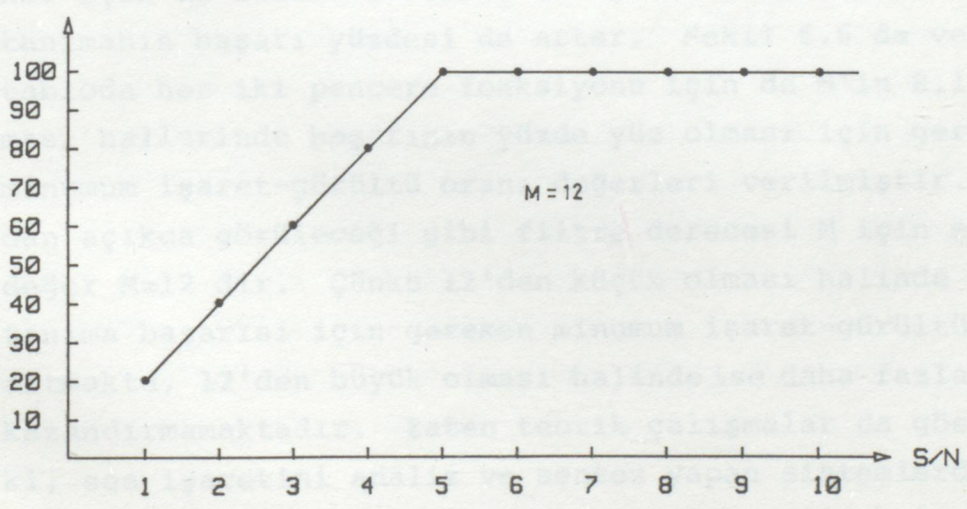
HAMMING PENCERESİ İÇİN

BASARI(%)



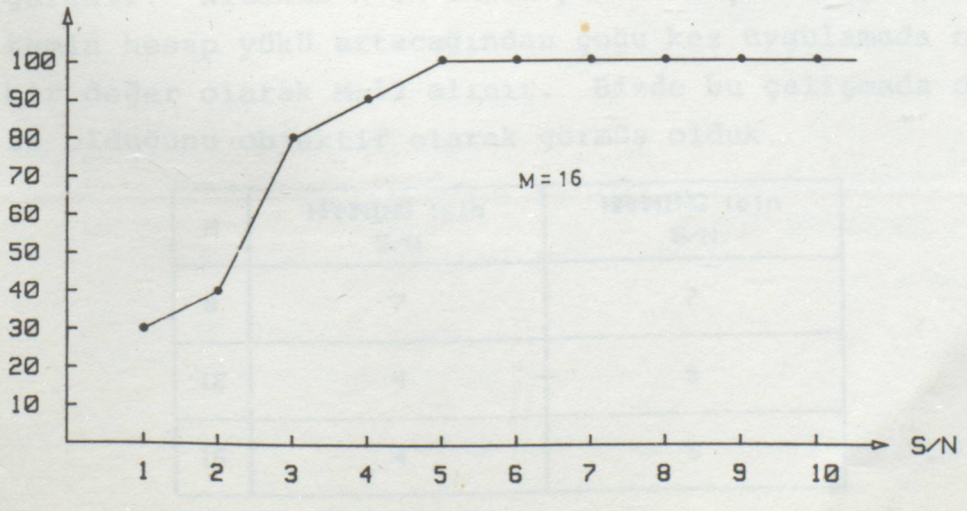
(a)

BASARI(%)



(b)

BASARI(%)



(c)

Şekil 6.5: Hamming penceresinde tanıma başarısının gürültü ile değişimi.

Sonuç olarak bu çalışma için Hanning penceresinin seçilmesinin daha uygun olduğunu söyleyebiliriz. Çünkü $M=8$ ve $M=16$ halleri de karşılıklı olarak incelendiğin de görülecektir ki, her durum için Hanning penceresiyle yapılan tanımanın başarı yüzdesi daha yüksektir. Bu arada bir not olarak şunuda belirtelim : Şekil 6-2 ve 6-3 deki tablolarda (+) işaretti tanımanın başarılı, (-) işaretti ise başarısız olduğunu gösterir.

6.2.2. Filtre derecesinin seçimi :

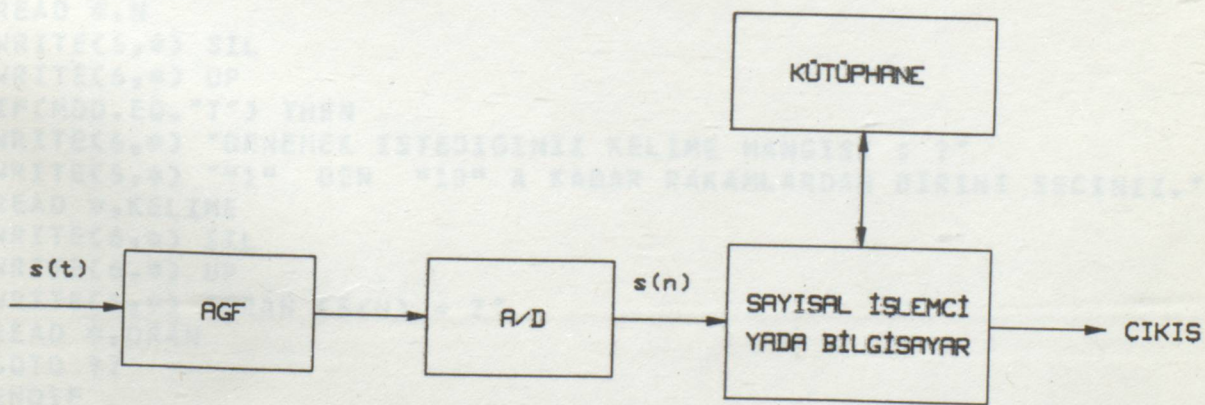
Şekil 6-4 ve Şekil 6-5 'deki grafiklerden açıkça görüleceği gibi kullanılan pencereden bağımsız olarak her iki hal için de滤器 derecesi dediğimiz M 'in değeri arttıkça tanımanın başarı yüzdesi de artar. Şekil 6.6 da verilen tabloda her iki pencere fonksiyonu için de M 'in 8,12,16 olması hallerinde başarının yüzde yüz olması için gereken minimum işaret-gürültü oranı değerleri verilmiştir. Buradan açıkça görüleceği gibi滤器 derecesi M için en uygun değer $M=12$ dir. Çünkü 12'den küçük olması halinde yüzde yüz tanıma başarısı için gereken minimum işaret-gürültü oranı artmaktadır, 12'den büyük olması halinde ise daha fazla bir şey kazandırmamaktadır. Zaten teorik çalışmalar da göstermiştir ki; ses işaretini analiz ve sentez yapan sistemlerde eğer bir büyük LPC filtresi kullanılıyorsa bu filtrenin derecesini sesin doğal yapısına uygunluğu nedeniyle $M \leq 12$ şeklinde seçmek gereklidir. Nitekim M 'in fazla yüksek seçilmesi durumunda sistemin hesap yükü artacağından çoğu kez uygulamada optimum bir değer olarak $M=12$ alınır. Bizde bu çalışmada durumun böyle olduğunu objektif olarak görmüş olduk.

M	HANNING için S/N	HAMMING için S/N
8	7	7
12	4	5
16	4	5

Şekil 6.6 : %100 başarı için gerekli minimum işaret-gürültü oranları

6.3. Genel sonuç

Bu çalışmadaki hedefimiz LPC filtresi kullanan ses tanıma sistemlerindeki parametrelerin genel davranış karakteristiğini ortaya çıkarmaktır. Bunda başarılı olduğumuzu zannediyorum. Çünkü teorik olarak bilinen bazı gerçeklerin pratik uygulamada bir nevi gözlemi yapılmıştır. Sonuç olarak pratikte de kullanılabilecek, parametreleri optimum değerlere set edilmiş bir çalışma ortaya çıkmıştır. EK-1 de verilen program, parametrelerin pencere fonksiyonu için Hanning'e, analiz aralığı için $N=200$ 'e, filtre derecesi için ise $M=12$ 'ye set edilirse bir ses tanıma sisteminin yazılım kısmı olarak kullanılabilir. Tahmin edileceği gibi bir ses tanıma sisteminin tamamını gerçekleştirmek için ilave bazı donanımlar gereklidir. Çünkü ses işaretinin sayısal diziler haline gelebilmesi için önce bir filtre den geçmesi (tipik olarak 4 kHz band genişliğinde) daha sonra da bir analog-dijital çeviriciden (A/D) geçirilmesi gereklidir. Elde edilen bu dizinin bilgisayara kaydedilmesini sağlayacak gerekli arabirimler de sağlandığı takdirde ses tanıma sistemi bir bütün olarak elde edilmiş olur. Şekil 6-7'de ses tanıma sisteminin donanım olarak nelerden oluşacağı çok genel bir çizimle gösterilmiştir.



AGF : Alçak geçiren filtre

A/D : Analog-Dijital çeviriçi

Şekil 6.7: Bir ses tanıma sisteminin genel donanımı.

EK-I

* PROGRAMIN AMACI: LPC KULLANAN BIR SES TANIMA SISTEMININ *****
* SIMULASYONU *****
* HAZIRLAYAN : MUSTAFA TURFAN *****
* PROGRAM DILI : FORTRAN 77 *****

PROGRAM PRED

DIMENSION ER(500),WC(300),ERN(1000),H(10),HX(10),G(6000)

DIMENSION D(10,10),R0(500),Y(6000),Z(6000),X(49000)

DIMENSION P(20),Q(20),R(20),A(20,20),E(20)

CHARACTER#20 NORMER,SIL,UP,MOD,PENCERE

CHARACTER#7 VERSION

INTEGER KELIME,T,ORAN,LENGTH

REAL NOISE

SIL=CHAR(27)//"C2J"

UP=CHAR(27)//"C1;1H"

PI=4.*ATAN(1.)

WRITE(5,*) SIL

WRITE(6,*) UP

WRITE(5,*) "HANGI MODU ISTERSINIZ ?"

WRITE(5,*) "KAYIT ICIN "K" YA BASINIZ."

WRITE(5,*) "TANIMA ICIN "T" YE BASINIZ."

READ(5,40) MOD

WRITE(5,*) SIL

WRITE(6,*) UP

WRITE(5,*) "HANGI PENCERE"YI ISTERSINIZ ?"

WRITE(5,*) "HAMMING ICIN "H" YA BASINIZ."

WRITE(5,*) "COS ICIN "C" YE BASINIZ."

READ(5,40) PENCERE

WRITE(5,*) SIL

WRITE(6,*) UP

WRITE(5,*) "M = ?"

READ *,M

WRITE(5,*) SIL

WRITE(6,*) UP

WRITE(5,*) "N = ?"

READ *,N

WRITE(5,*) SIL

WRITE(6,*) UP

IF(MOD.EQ."T") THEN

WRITE(5,*) "DENEMEK İSTEDİGINİZ KELIME HANGİSİ : ?"

WRITE(5,*) "'1" DEN "'10" A KADAR RAKAMLARDAN BİRİNİ SECİNİZ."

READ *,KELIME

WRITE(5,*) SIL

WRITE(6,*) UP

WRITE(5,*) "ORAN (S/N) = ?"

READ *,ORAN

GOTO 77

ENDIF

WRITE(6,*) SIL

WRITE(6,*) UP

WRITE(5,*) "NORMALIZE HATA FILENAME (H) : ?"

READ (5,40) NORMER

WRITE(5,*) SIL

WRITE(6,*) UP

FORMAT(A30)

WRITE(5,*) "LUTFEN BEKLEYİNİZ !"

IF(PENCERE.EQ."C") THEN

```
DO 66 I=-N/2,N/2-1
W(N/2+I+1)=0.5+0.5*COS(2*PI*REAL(N)/(REAL(N)+1))
CONTINUE
GOTO 222
ENDIF
DO 50 I=-N/2,N/2-1
W(N/2+I+1)=0.5+0.46*COS(PI*(2.*REAL(I)+1.)/(REAL(N)-1.))
CONTINUE
OPEN(UNIT=8,FILE="AT.DAT",STATUS="OLD")
READ(8,*) (X(I),I=1,48000)
CLOSE(UNIT=8)
IF(MOD.EQ."K") THEN
L=48000
LENGTH=0
GOTO 55
ENDIF
IF(KELIME.EQ.1) THEN
L=5400
LENGTH=0
GOTO 99
ENDIF
IF(KELIME.EQ.2) THEN
L=4600
LENGTH=5400
GOTO 99
ENDIF
IF(KELIME.EQ.3) THEN
L=4200
LENGTH=10000
GOTO 99
ENDIF
IF(KELIME.EQ.4) THEN
L=5000
LENGTH=14200
GOTO 99
ENDIF
IF(KELIME.EQ.5) THEN
L=4800
LENGTH=19200
GOTO 99
ENDIF
IF(KELIME.EQ.6) THEN
L=4800
LENGTH=24000
GOTO 99
ENDIF
IF(KELIME.EQ.7) THEN
L=4400
LENGTH=28800
GOTO 99
ENDIF
IF(KELIME.EQ.8) THEN
L=5600
LENGTH=33200
GOTO 99
ENDIF
IF(KELIME.EQ.9) THEN
L=5600
LENGTH=38800
GOTO 99
55
99
```

```
ENDIF
IF(KELIME.EQ.10) THEN
L=3600
LENTGH=44400
ENDIF
99 IF(PENCERE.EQ."C") GOTO 1
IF(N.EQ.200) GOTO 2
IF(N.EQ.256) GOTO 3
IF(N.EQ.300) GOTO 4
2 IF(M.EQ.8) VERSION="H11.DAT"
IF(M.EQ.12) VERSION="H13.DAT"
IF(M.EQ.16) VERSION="H15.DAT"
GOTO 455
3 IF(M.EQ.8) VERSION="H17.DAT"
IF(M.EQ.12) VERSION="H19.DAT"
IF(M.EQ.16) VERSION="H21.DAT"
GOTO 455
4 IF(M.EQ.8) VERSION="H23.DAT"
IF(M.EQ.12) VERSION="H25.DAT"
IF(M.EQ.16) VERSION="H27.DAT"
GOTO 455
1 IF(N.EQ.200) GOTO 5
IF(N.EQ.256) GOTO 6
IF(N.EQ.300) GOTO 7
5 IF(M.EQ.8) VERSION="H12.DAT"
IF(M.EQ.12) VERSION="H14.DAT"
IF(M.EQ.16) VERSION="H16.DAT"
GOTO 455
6 IF(M.EQ.8) VERSION="H18.DAT"
IF(M.EQ.12) VERSION="H20.DAT"
IF(M.EQ.16) VERSION="H22.DAT"
GOTO 455
7 IF(M.EQ.8) VERSION="H24.DAT"
IF(M.EQ.12) VERSION="H26.DAT"
IF(M.EQ.16) VERSION="H28.DAT"
455 J=315759
GUC=0
DO 444 I=1,N
Y(I)=RAN(J)
Z(I)=RAN(J)
Y(I)=SQRT(-2*LOG(Y(I)))*COS(2*PI*Z(I))
444 CONTINUE
55 BOLUM=L/N
KALAN=JMOD(L,N)
IF(KALAN.NE.0) THEN
BOLUM=(L-KALAN+N)/N
ENDIF
DO 125 O=0,BOLUM-1
IF(MOD.OEQ."K") GOTO 555
GUC=0
DO 109 I=1,N
GUC=GUC+X(I+LENGTH+O*N)*X(I+LENGTH+O*N)
109 CONTINUE
NOISE=SQRT(GUC/N)/D(RAN)
DO 301 I=1,N
X(I+LENGTH+O*N)=X(I+LENGTH+O*N)+Y(I)*NOISE
301 CONTINUE
555 DO 119 J=1,N
X(J+LENGTH+O*N)=X(J+LENGTH+O*N)+W(J)
119 CONTINUE
```

```
R0(0+1)=0
ER(0+1)=0
DO 159 K=1,M
DO 209 J=1,N-1-K
R0(0+1)=R0(0+1)+X(J+LENGTH+N*0)*X(J+LENGTH+N*0)
209    CONTINUE
159    CONTINUE
DO 309 I=1,M
TOP1=0
DO 409 J=1,N-1-I
K=ABS(J-I)
IF(K.EQ.0) TOP1=X(J+1+LENGTH+N*0)*X(1+LENGTH+N*0)+TOP1
IF(K.NE.0) TOP1=X(J+1+LENGTH+N*0)*X(K+LENGTH+N*0)+TOP1
409    CONTINUE
RC1)=TOP1
309    CONTINUE
TOP2=0
Q(1)=-(R(1)/R0(0+1))
E(1)=(1-Q(1)**2)*R0(0+1)
A(1,1)=Q(1)
P(1)=Q(1)
DO 509 I=2,M
DO 609 J=1,I-1
TOP2=TOP2+A(J,I-1)*R(I-J)
509    CONTINUE
Q(I)=-(R(I-1)+TOP2)/E(I-1)
E(I)=(1-Q(I)**2)*E(I-1)
DO 709 K=1,I-1
ACK,I)=ACK,I-1)+Q(I)*A(I-K,I-1)
IF (K.EQ.I) ACK,I)=Q(I)
IF (I.EQ.M) P(K)=ACK,M)
709    CONTINUE
509    CONTINUE
P(M)=Q(M)
ER(0+1)=E(M)
ERN(0+1)=2*ER(0+1)/R0(0+1)
125    CONTINUE
IF(MOD.EQ."K") GOT3 1500
HX(KELIME)=0
DO 1400 I=1,BOLUM
HX(KELIME)=HX(KELIME)+ERN(I)**4
1400    CONTINUE
OPEN(UNIT=9,FILE=VERSION,STATUS="OLD")
READ(9,*) H(I),I=1,10
CLOSE(UNIT=9)
DO 300 I=1,10
D(I,KELIME)=ABS(LOG(H(I)/HX(KELIME)))
300    CONTINUE
T=1
DO 400 I=2,10
IF(D(I,KELIME).LT.DCT,KELIME)) T=I
400    CONTINUE
WRITE(6,*) SIL
WRITE(6,*) UP
WRITE(6,*) "TANINAN KELIME "
PRINT #,
GOTO 2000
1500    DO 150 I=1,10
H(I)=0
TEXT EO 12 THEN
```

```
BOLUM2=5400/N
KALAN2=JMOD(5400,N)
GOTO 510
ENDIF
IF(I.EQ.2) THEN
BOLUM2=5400/N
BOLUM3=10000/N
KALAN2=JMOD(5400,N)
KALAN3=JMOD(10000,N)
GOTO 520
ENDIF
IF(I.EQ.3) THEN
BOLUM2=10000/N
BOLUM3=14200/N
KALAN2=JMOD(10000,N)
KALAN3=JMOD(14200,N)
GOTO 530
ENDIF
IF(I.EQ.4) THEN
BOLUM2=14200/N
BOLUM3=19200/N
KALAN2=JMOD(14200,N)
KALAN3=JMOD(19200,N)
GOTO 540
ENDIF
IF(I.EQ.5) THEN
BOLUM2=19200/N
BOLUM3=24000/N
KALAN2=JMOD(19200,N)
KALAN3=JMOD(24000,N)
GOTO 550
ENDIF
IF(I.EQ.6) THEN
BOLUM2=24000/N
BOLUM3=28800/N
KALAN2=JMOD(24000,N)
KALAN3=JMOD(28800,N)
GOTO 560
ENDIF
IF(I.EQ.7) THEN
BOLUM2=28800/N
BOLUM3=33200/N
KALAN2=JMOD(28800,N)
KALAN3=JMOD(33200,N)
GOTO 570
ENDIF
IF(I.EQ.8) THEN
BOLUM2=33200/N
BOLUM3=38800/N
KALAN2=JMOD(33200,N)
KALAN3=JMOD(38800,N)
GOTO 580
ENDIF
IF(I.EQ.9) THEN
BOLUM2=38800/N
BOLUM3=44400/N
KALAN2=JMOD(38800,N)
KALAN3=JMOD(44400,N)
GOTO 590
```

```
IF(I.EQ.10) THEN
  BOLUM2=44400/N
  BOLUM3=48000/N
  KALAN2=JMOD(44400,N)
  KALAN3=JMOD(48000,N)
  GOTO 600
ENDIF
510  IF(KALAN2.LT.N/2) BOLUM2=(5400-KALAN2)/N
  IF(KALAN2.GT.N/2) BOLUM2=(5400-KALAN2+N)/N
  DO 200 J=1,BOLUM2
    H(I)=H(I)+ERN(J)**4
200  CONTINUE
  GOTO 150
520  IF(KALAN2.LT.N/2) BOLUM2=(5400-KALAN2+N)/N
  IF(KALAN2.GT.N/2) BOLUM2=(5400-KALAN2)/N
  IF(KALAN3.LT.N/2) BOLUM3=(10000-KALAN3)/N
  IF(KALAN3.GT.N/2) BOLUM3=(10000-KALAN3+N)/N
  DO 210 J=BOLUM2,BOLUM3
    H(I)=H(I)+ERN(J)**4
210  CONTINUE
  GOTO 150
530  IF(KALAN2.LT.N/2) BOLUM2=(10000-KALAN2+N)/N
  IF(KALAN2.GT.N/2) BOLUM2=(10000-KALAN2)/N
  IF(KALAN3.LT.N/2) BOLUM3=(14200-KALAN3)/N
  IF(KALAN3.GT.N/2) BOLUM3=(14200-KALAN3+N)/N
  DO 220 J=BOLUM2,BOLUM3
    H(I)=H(I)+ERN(J)**4
220  CONTINUE
  GOTO 150
540  IF(KALAN2.LT.N/2) BOLUM2=(14200-KALAN2+N)/N
  IF(KALAN2.GT.N/2) BOLUM2=(14200-KALAN2)/N
  IF(KALAN3.LT.N/2) BOLUM3=(19200-KALAN3)/N
  IF(KALAN3.GT.N/2) BOLUM3=(19200-KALAN3+N)/N
  DO 230 J=BOLUM2,BOLUM3
    H(I)=H(I)+ERN(J)**4
230  CONTINUE
  GOTO 150
550  IF(KALAN2.LT.N/2) BOLUM2=(19200-KALAN2+N)/N
  IF(KALAN2.GT.N/2) BOLUM2=(19200-KALAN2)/N
  IF(KALAN3.LT.N/2) BOLUM3=(24000-KALAN3)/N
  IF(KALAN3.GT.N/2) BOLUM3=(24000-KALAN3+N)/N
  DO 240 J=BOLUM2,BOLUM3
    H(I)=H(I)+ERN(J)**4
240  CONTINUE
  GOTO 150
560  IF(KALAN2.LT.N/2) BOLUM2=(24000-KALAN2+N)/N
  IF(KALAN2.GT.N/2) BOLUM2=(24000-KALAN2)/N
  IF(KALAN3.LT.N/2) BOLUM3=(28800-KALAN3)/N
  IF(KALAN3.GT.N/2) BOLUM3=(28800-KALAN3+N)/N
  DO 250 J=BOLUM2,BOLUM3
    H(I)=H(I)+ERN(J)**4
250  CONTINUE
  GOTO 150
570  IF(KALAN2.LT.N/2) BOLUM2=(28800-KALAN2+N)/N
  IF(KALAN2.GT.N/2) BOLUM2=(28800-KALAN2)/N
  IF(KALAN3.LT.N/2) BOLUM3=(33200-KALAN3)/N
  IF(KALAN3.GT.N/2) BOLUM3=(33200-KALAN3+N)/N
  DO 260 J=BOLUM2,BOLUM3
    H(I)=H(I)+ERN(J)**4
```

```
GOTO 150
580 IF(KALAN2.LT.N/2) BOLUM2=(33200-KALAN2+N)/N
     IF(KALAN2.GT.N/2) BOLUM2=(33200-KALAN2)/N
     IF(KALAN3.LT.N/2) BOLUM3=(38800-KALAN3)/N
     IF(KALAN3.GT.N/2) BOLUM3=(38800-KALAN3+N)/N
     DO 270 J=BOLUM2,BOLUM3
        H(I)=H(I)+ERN(J)**4
270  CONTINUE
     GOTO 150
590 IF(KALAN2.LT.N/2) BOLUM2=(38800-KALAN2+N)/N
     IF(KALAN2.GT.N/2) BOLUM2=(38800-KALAN2)/N
     IF(KALAN3.LT.N/2) BOLUM3=(44400-KALAN3)/N
     IF(KALAN3.GT.N/2) BOLUM3=(44400-KALAN3+N)/N
     DO 280 J=BOLUM2,BOLUM3
        H(I)=H(I)+ERN(J)**4
280  CONTINUE
     GOTO 150
600 IF(KALAN2.LT.N/2) BOLUM2=(44400-KALAN2+N)/N
     IF(KALAN2.GT.N/2) BOLUM2=(44400-KALAN2)/N
     IF(KALAN3.LT.N/2) BOLUM3=(48000-KALAN3)/N
     IF(KALAN3.GT.N/2) BOLUM3=(48000-KALAN3+N)/N
     DO 290 J=BOLUM2,BOLUM3
        H(I)=H(I)+ERN(J)**4
290  CONTINUE
150  CONTINUE
      OPEN(UNIT=9,FILE=NORMER,STATUS="NEW")
      WRITE(9,*) (H(I),I=1,10)
      CLOSE(UNIT=9)
2000 STOP
      END
```

KAYNAKLAR

- 1- OPPENHEIM and SCHAFER, "Digital Signal Processing,"
Printice Hall, 1978.
- 2- OPPENHEIM, "Applications of Digital Signal Processing,"
Printice Hall, Vol. 3, 1978.
- 3- JOHN MAKHOUL, "Lineer Prediction: A Tutorial Review,"
Proc. IEEE, Vol. 63, pp. 561-580, Aprb 1975.
- 4- JOHN D. MARKEL, " A Lineer Prediction Vocoder Simulation
Based upon the Autocorelation Method," IEEE Trans.
Acoust., Speech and Signal Process., Vol. ASSP-22, pp.
124-134, Apr. 1974.
- 5- F. ITAKURA, "Minimum Prediction Residüal Principle
Applied to Speech Reccgnation," IEEE Trans. Acoust.,
Speech, Signal Processing, Vol. ASSP-23, pp. 67-72,
Feb. 1975.
- 6- SIMON HAYKIN, " Introduction to Adaptive Filters,"
Macmillan Publishing Company, 1984.

ÖZGEÇMİŞ

1963-Giresun doğumlu olan yazar ilköğretimimini Giresun'da tamamladı. Orta ve Lise öğreniminine ise Samsun'da devam etti. 1985 yılında Bursa'da Uludağ Üniversitesinde Elektronik Mühendisliğini bitiren yazar yüksek lisans eğitimi de İstanbul'da Yıldız Üniversitesinde devam etti. Halen telekomünikasyon cihazları üreten bir kuruluş olan Teletaş'ta araştırma-geliştirme mühendisi olarak çalışmaktadır.



